

PLANCHE A

EXPLICATION DE LA PLANCHE A.

N.B. — Toutes les photographies sont orientées Nord à gauche et Sud à droite.

PHOTOGRAPHIE I. — Cumulées 1.292-1.294 m du travers-bancs Sud à 730 m de Blanchisserie : fractures simples conjuguées, à pente Nord ou Sud, produisant une bréchiation en grand.

PHOTOGRAPHIE II. — Cumulée 1.224 m du travers-bancs Sud à 730 m de Blanchisserie : fractures simples à fort pendage Nord.

PHOTOGRAPHIE III. — Cumulée 1.035 m du travers-bancs Sud à 730 m de Blanchisserie : fracture à fort pendage Sud superposant une masse de schistes froissés sur des bancs de grès bréchiés.

PHOTOGRAPHIE IV. — Cumulée 662 m du travers-bancs Sud à 730 m de Blanchisserie : au toit d'une fracture principale, décollement des bancs avec plissements disharmoniques (au centre et en haut du cliché).

PHOTOGRAPHIE V. — Cumulée 642 m du travers-bancs Sud à 730 m de Blanchisserie : pseudo-veine de charbon constituée par une cassure à faible pente Sud dans laquelle du charbon a été injecté.

PHOTOGRAPHIE VI. — Cumulée 528 m du travers-bancs Sud à 730 m de Blanchisserie : couche de charbon, en allure horizontale, reposant régulièrement sur son mur (non visible sur la photo) et recoupant son « toit » géométrique, dont les bancs ont un pendage de 30° au Sud; charbons et schistes du toit sur environ 30 cm d'épaisseur à partir du contact, sont bréchiés; la décurrence des pieds des bancs sur la surface de glissement supérieure indique le sens du mouvement; le toit schisteux a glissé, sur le charbon, du Sud vers le Nord.



I



II



III



IV



V



VI

B. ADERCA. — Le massif du Carabinier dans la Division Marcinelle des Charbonnages de Monceau-Fontaine.

PLANCHE B

EXPLICATION DE LA PLANCHE B.

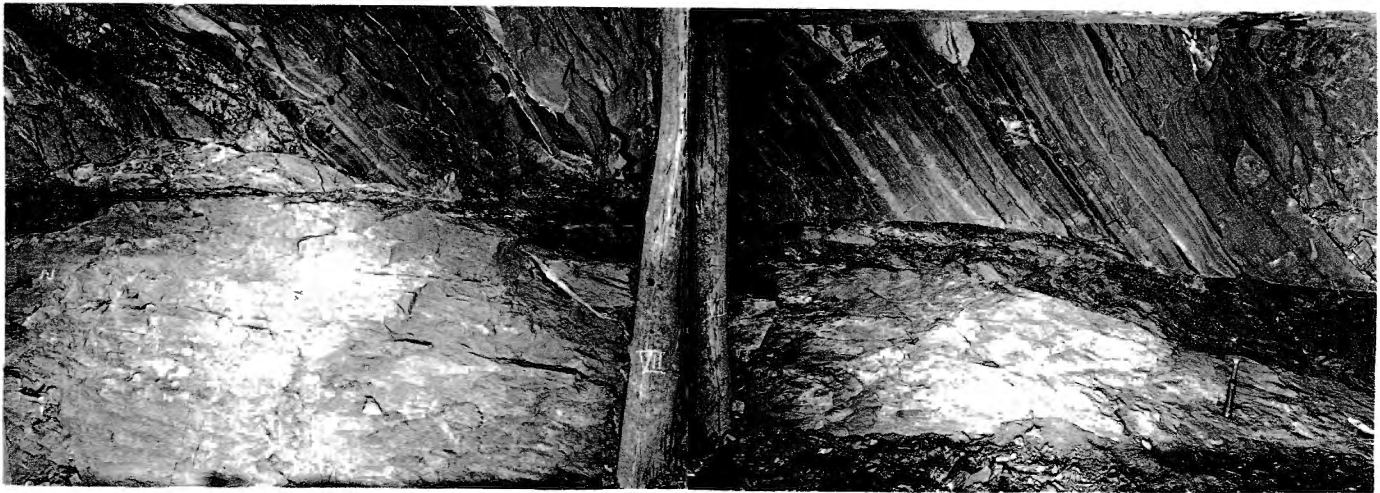
PHOTOGRAPHIES VII et VIII. — Cumulée 425 m du travers-bancs Sud à 730 m de Blanchisserie : sur le charriage du Carabinier, mouvements complexes provoqués par la présence d'une couche de charbon dans une zone écrasée; à l'extrême gauche une couche de charbon, inclinant à 40° au Sud, régulièrement recouverte par son toit stratigraphique, repose sur un mur bréchié recoupé par une faille de cisaillement laquelle, dans la moitié Sud de la photographie, sépare un mur horizontal d'un toit pendant à 40° Sud, avec interposition de 20-40 cm de charbon entraîné et écrasé. L'inflexion des pieds des bancs sur la surface de cisaillement est bien visible et indique le sens du mouvement : de Sud vers Nord pour le toit.

PHOTOGRAPHIE IX. — Cumulées 236 à 239 m du travers-bancs Sud à 730 m de Blanchisserie : sous le charriage du Carabinier, fracture à pendage Sud, à mouvement normal conforme et entraînement, dans la fracture, de lambeaux de charbon; bréchiation produite entre des fractures subordonnées.

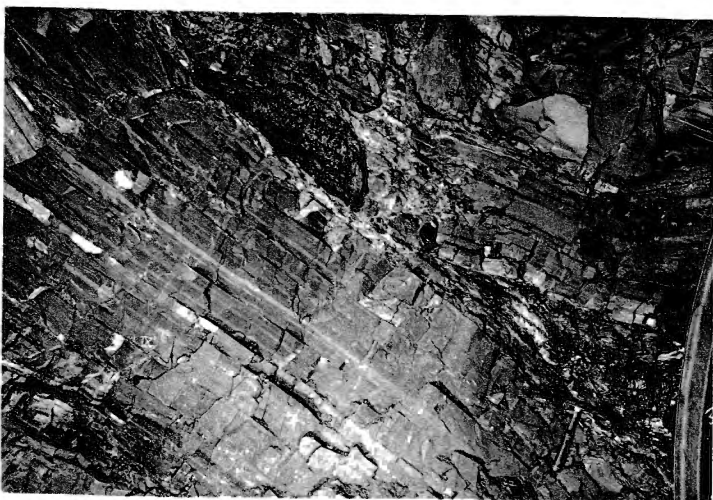
PHOTOGRAPHIE X. — Cumulée 1.176 m du travers-bancs Sud à 930 m de Blanchisserie : décollement entre toit gréseux et mur schisteux avec écrasement de la couche de charbon intercalée.

PHOTOGRAPHIE XI. — Cumulée 1.290 m du travers-bancs Sud à 930 m de Blanchisserie : ruptures découpant les bancs et enfermant du charbon injecté.

PHOTOGRAPHIE XII. — Cumulée 1.360 m du travers-bancs Sud à 930 m de Blanchisserie : couche de charbon de 30 cm, en dressant renversé; le mur (au-dessus) est régulier tandis que charbon et toit (en dessous) sont décollés et bréchiés.



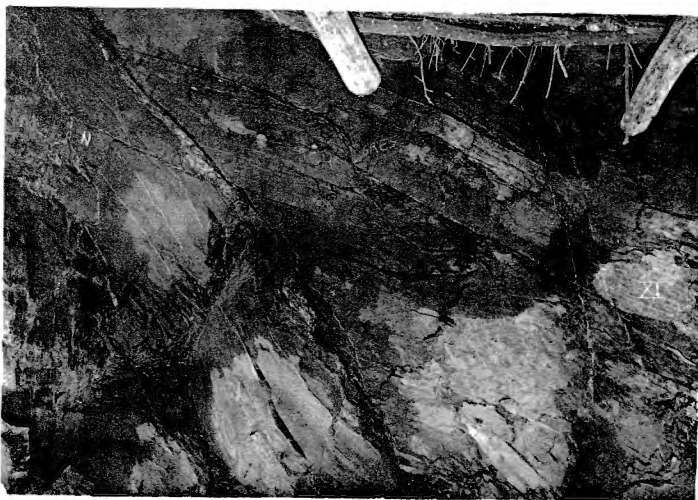
VII-VIII



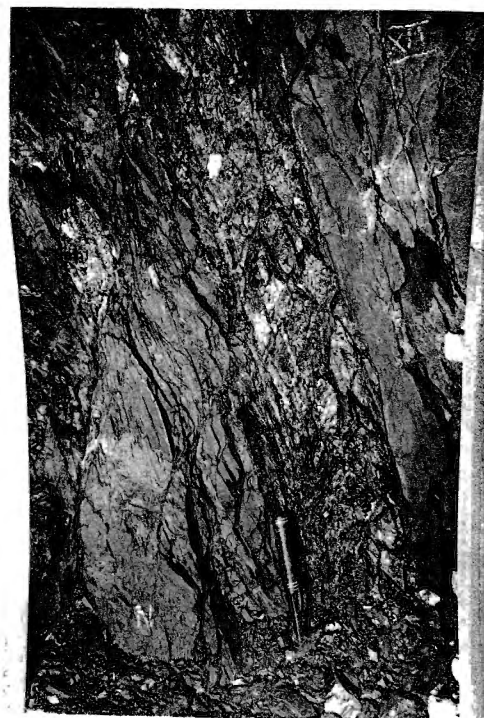
IX



X



XI



XII

B. ADERCA. — Le massif du Carabinier dans la Division Marcinielle des Charbonnages de Monceau-Fontaine.

PLANCHE I

EXPLICATION DE LA PLANCHE I

FIG. 1. — *Lepidostrobos variabilis* LINDLEY et HUTTON.

FIG. 2. — *Sigillariostrobos prolifer* nov. sp.

Diagnose. — Strobiles cylindriques droits ou légèrement courbés, larges de 20 mm environ, longs de 13 cm au moins, portés par un pédoncule orné de bractées aciculaires. Axe du strobile large de 6-8 mm environ, porteur de coussinets rhomboïdaux lépidendroïdes en relief de $3 \times 1,25$ mm, accolés, disposés en spires presque horizontales, marqués d'une crête verticale médiane et d'une cicatrice foliaire plus ou moins circulaire située soit dans la partie supérieure, soit vers le milieu et correspondant à l'attache des sporophylles.

Sporophylles serrées les unes contre les autres, aciculaires, à nervure médiane, longues de 3 cm environ, à base losangique, généralement pliées suivant l'axe horizontal du losange; souvent déchirées près de la base et découvrant alors une masse de macrospores qui cachent l'axe central.

Macrospores du type *Lævigatisporites reinschi* (IBRAHIM), circulaires, lisses, à image tri-radiée, de 1,8 mm de diamètre.

FIG. 2 a. — Le même spécimen agrandi 3 fois pour montrer les spores en place.

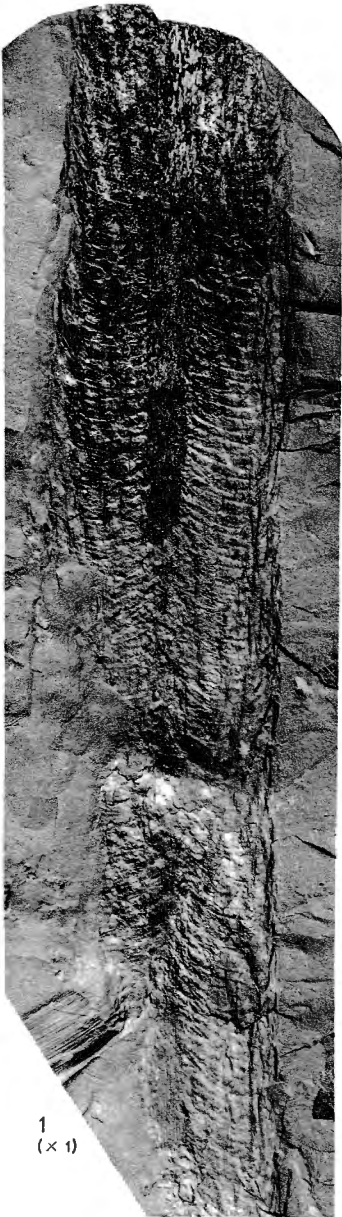
FIG. 3. — *Sigillariostrobos prolifer* nov. sp.

FIG. 4. — *Sigillariostrobos prolifer* nov. sp.
Spécimen montrant la forme des sporophylles.

FIG. 5. — *Sigillariostrobos prolifer* nov. sp.
Axe de strobile dénudé montrant la disposition en faux verticilles des cicatrices laissées par la chute des sporophylles.

FIG. 6. — *Sigillaria rugosa* BRONGNIART.

FIG. 7. — *Lævigatisporites reinschi* (IBRAHIM).
Spore isolée de *Sigillariostrobos prolifer*, agrandie 3 fois.
Détermination : P. PIÉRART.



1
(x 1)

Lepidostrobus variabilis
LINDLEY et HUTTON

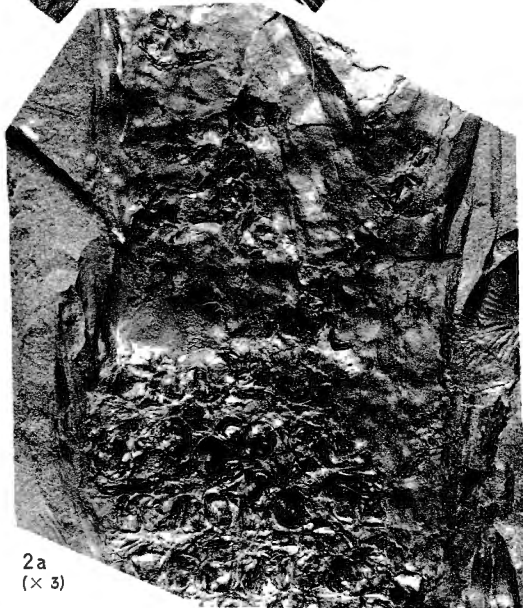
*Sigillariostrobus
prolifer*
nov. sp.



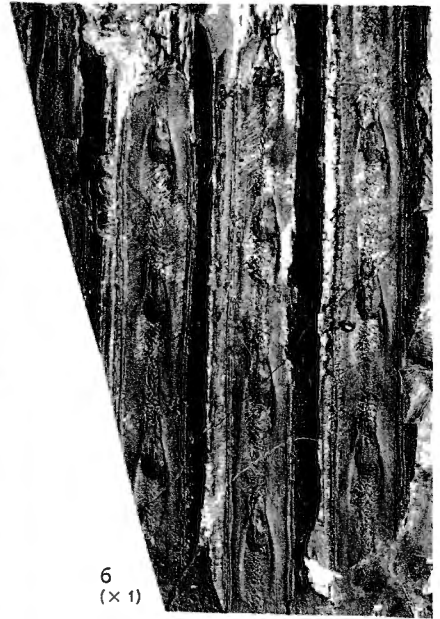
2
(x 1)



3
(x 1)

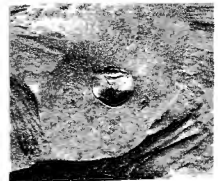


2a
(x 3)



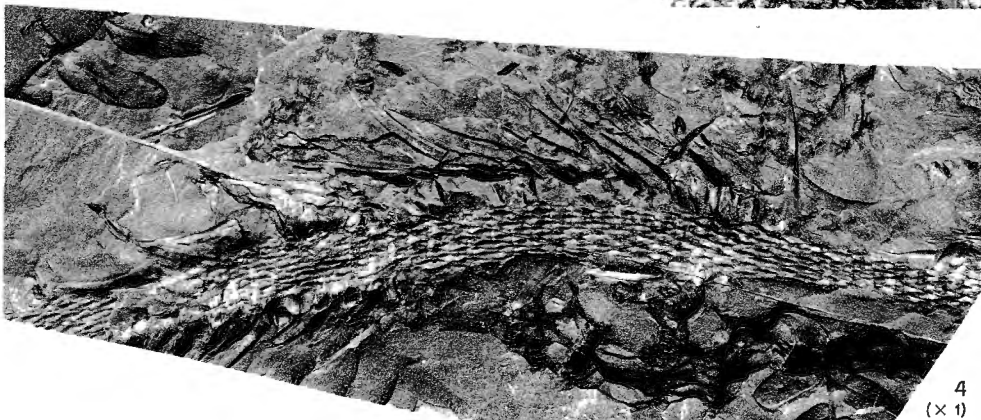
6
(x 1)

Sigillaria rugosa
BRONGNIART

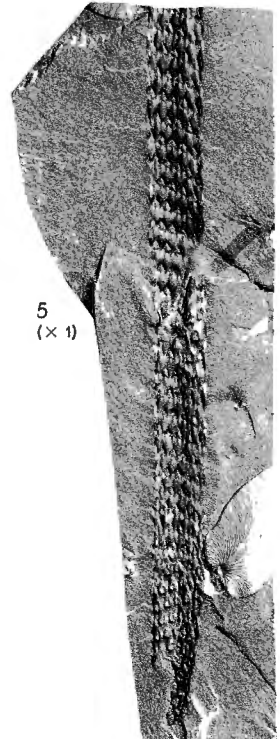


7
(x 3)

*Laevigatisporites
reinschi* (IBRAHIM)



4
(x 1)



5
(x 1)

F. STOCKMANS et Y. WILLIÈRE. — Un beau toit à végétaux
au siège Fiestaux des Charbonnages de Monceau-Fontaine (Zone de Genk, partie supérieure).

PLANCHE II

EXPLICATION DE LA PLANCHE II.

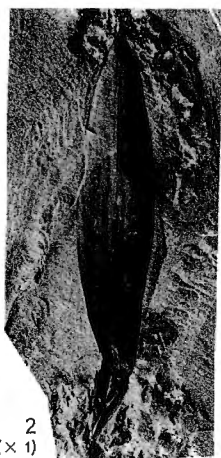
- FIG. 1. — *Lepidophloios laricinus* STERNBERG.
- FIG. 2. — *Lepidophyllum lanceolatum* LINDLEY et HUTTON.
- FIG. 3. — *Cordaites palmæformis* (GOEPPERT).
- FIG. 4. — *Bothrodendron punctatum* LINDLEY et HUTTON.
? Appendice stigmarien.
- FIG. 5. — *Bothrodendron punctatum* LINDLEY et HUTTON.
Rameau feuillé.
- FIG. 6. — *Bothrodendron punctatum* LINDLEY et HUTTON.
Le strobile de *Bothrodendron* [*Bothrostrobilus olryi* (ZEILLER)] est presque toujours représenté par des éléments isolés; sporophylles portant sporange.
- FIG. 6 a. — Le même spécimen agrandi 3 fois.
- FIG. 7. — *Pinakodendron ohmanni* WEISS.
Rameau feuillé.
- FIG. 7 a. — Le même spécimen agrandi 3 fois; il montre les feuilles fines et longues qui ornaient les rameaux de cette plante; à la base de l'une d'elles, un micro-sporange.
- FIG. 8. — *Hexagonocarpus modestæ* (P. BERTRAND).
- FIG. 9. — *Hexagonocarpus modestæ* (P. BERTRAND).
- FIG. 10. — *Linopteris neuropteroides* (GUTBIER).
-



1
(× 1)

Lepidophloios laricinus

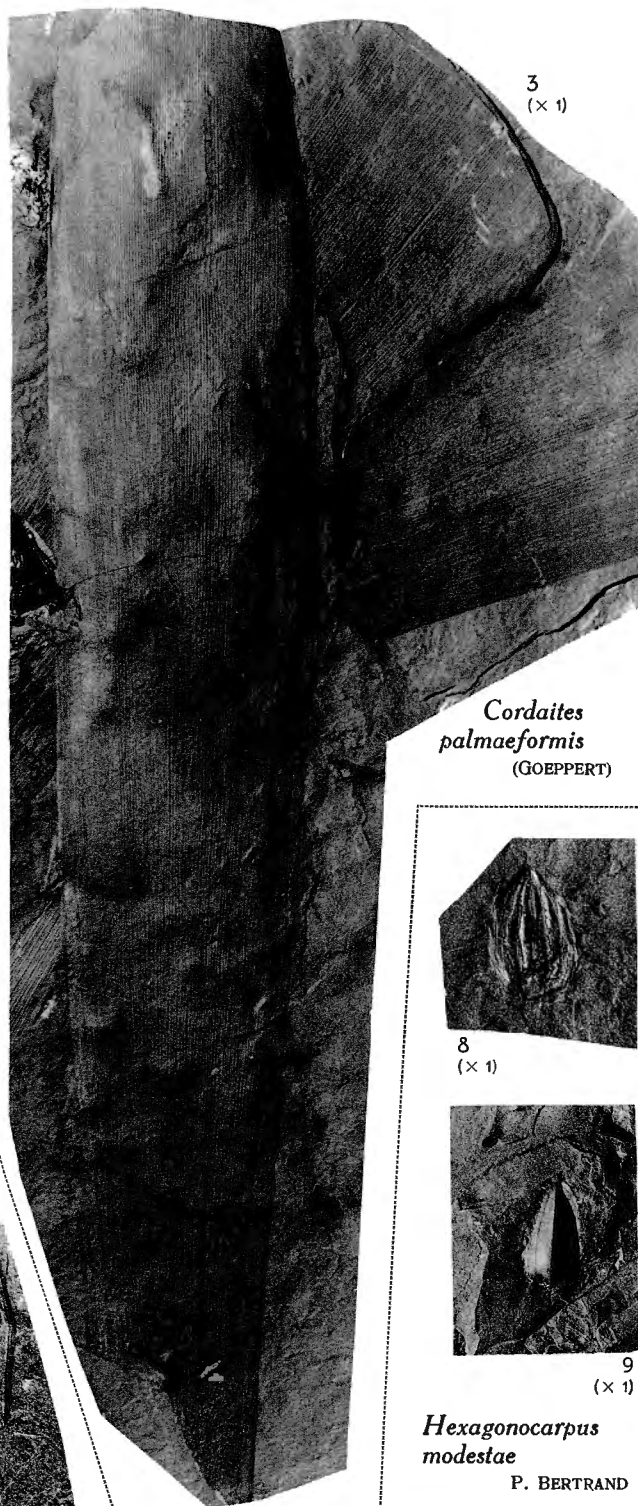
STERNBERG



2
(× 1)

Lepidophyllum lanceolatum

LINDLEY et HUTTON



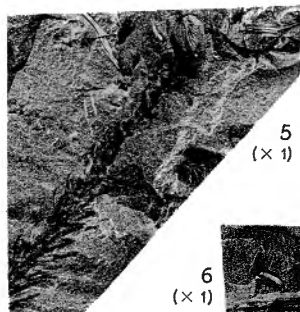
3
(× 1)

*Cordaites
palmaeformis*

(GOEPPERT)



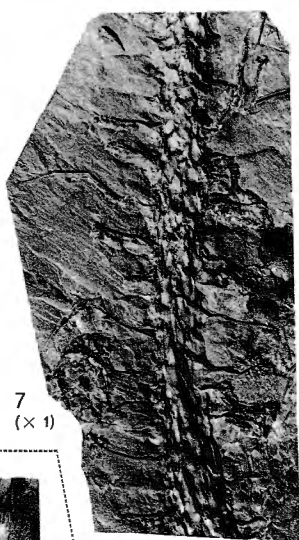
4
(× 1)



5
(× 1)

Bothrodendron punctatum

LINDLEY et HUTTON



7
(× 1)

*Pinakodendron
ohmanni*

WEISS



6
(× 1)



6a
(× 3)

7a
(× 3)



8
(× 1)



9
(× 1)

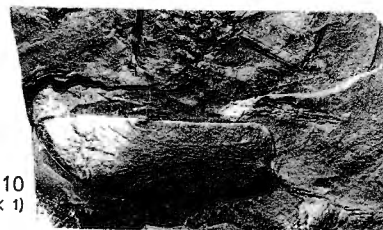
*Hexagonocarpus
modestae*

P. BERTRAND



10
(× 1)

Linopteris neuropteroides (GUTBIER)



F. STOCKMANS et Y. WILLIÈRE. — Un beau toit à végétaux
au siège Fiestaux des Charbonnages de Monceau-Fontaine (Zone de Genk, partie supérieure).

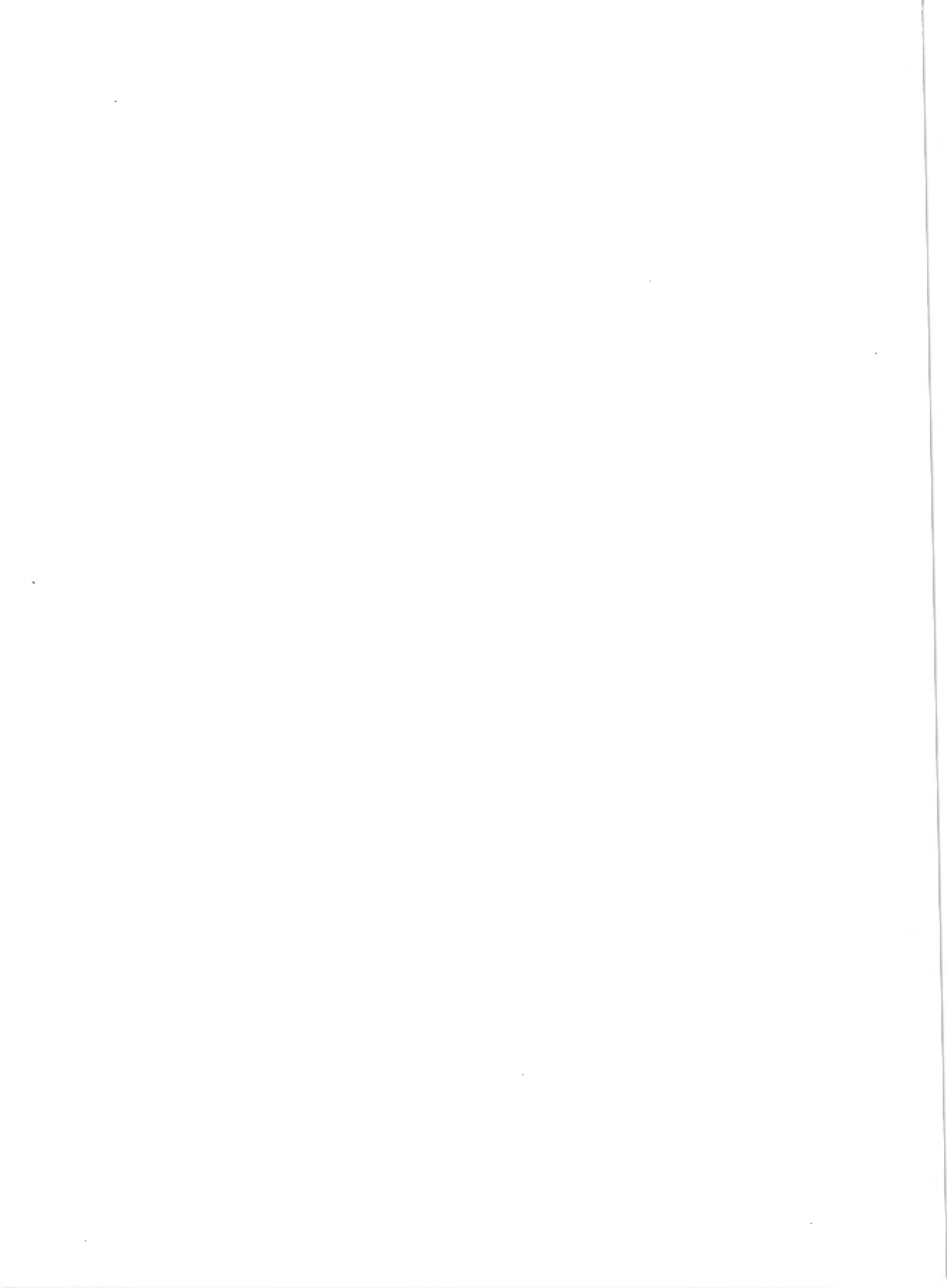


PLANCHE III

EXPLICATION DE LA PLANCHE III.

FIG. 1. — *Calamites schützeiformis* KIDSTON et JONGMANS.

FIG. 2. — *Calamites schützeiformis* KIDSTON et JONGMANS.

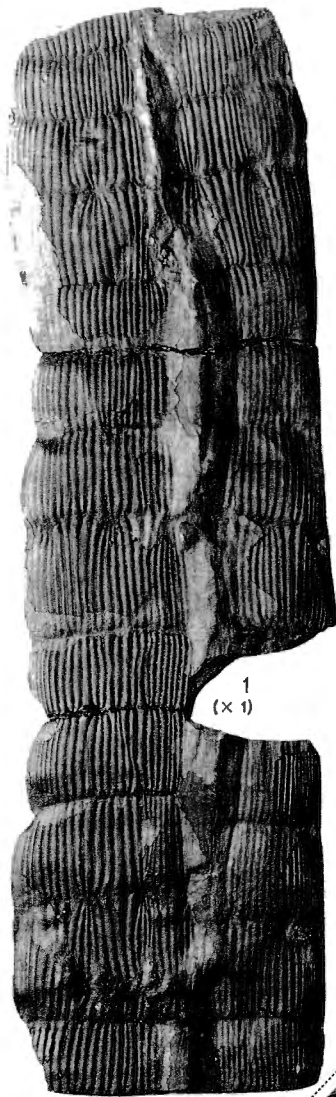
FIG. 3. — *Sphenophyllostachys dawsoni* (WILLIAMSON).

FIG. 3 a. — Le même spécimen agrandi 3 fois.

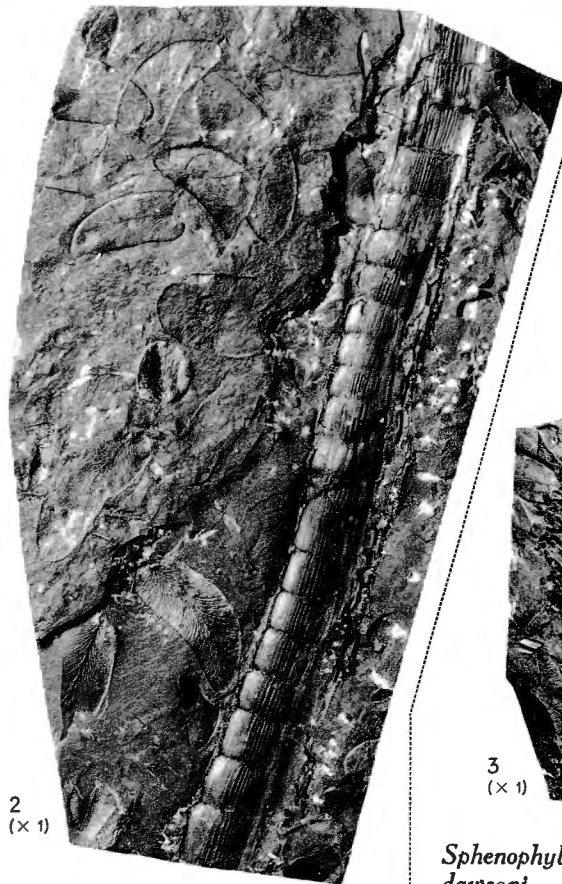
FIG. 4. — *Sphenophyllum cuneifolium* (STERNBERG).
Verticille typique.

FIG. 5. — *Sphenophyllum cuneifolium* (STERNBERG).
Axes pénultième et antépénultième finement ponctués et feuilles des axes
de dernier ordre du type *saxifragæfolium*.

FIG. 6. — a) *Asterophyllites lycopodioides* ZEILLER.
b) *Asterophyllites tenuifolius* (STERNBERG).



1
(x 1)



2
(x 1)

Calamites schützeiformis
KIDSTON et JONGMANS

3a
(x 3)

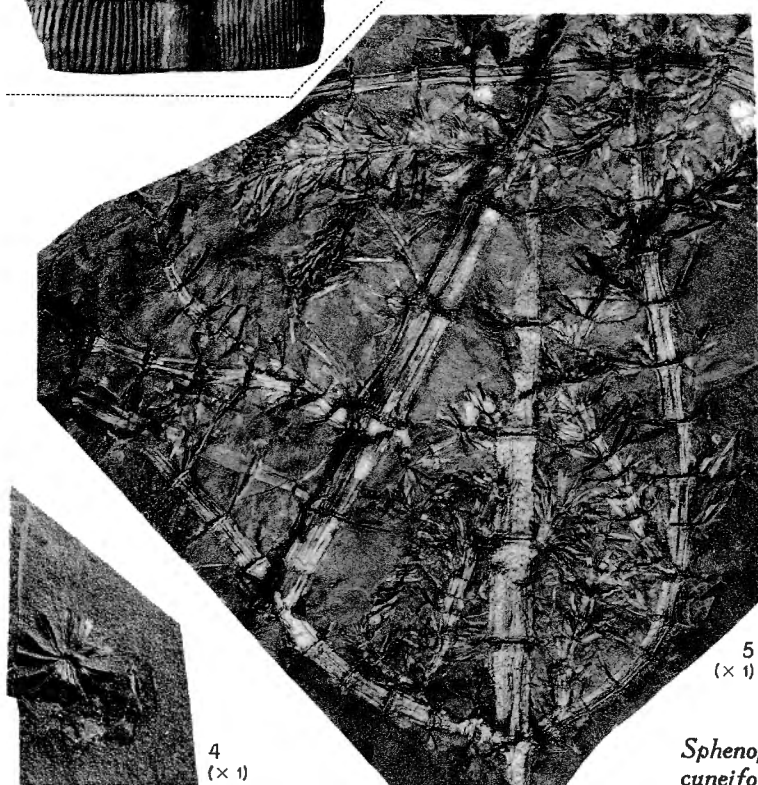


3
(x 1)

Sphenophyllostachys dawsoni (WILLIAMSON)

a. *Asterophyllites lycopodioides* ZEILLER

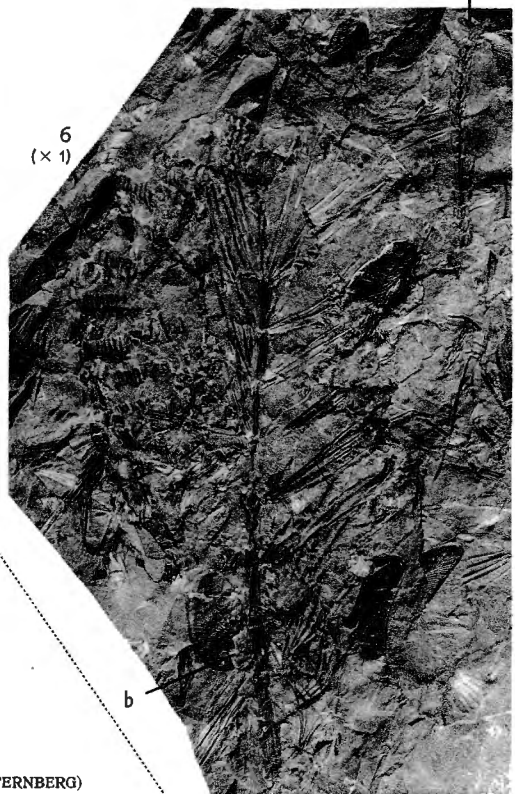
b. *Asterophyllites tenuifolius* (STERNBERG) a



4
(x 1)

5
(x 1)

Sphenophyllum
cuneifolium (STERNBERG)



6
(x 1)

b

F. STOCKMANS et Y. WILLIÈRE. — Un beau toit à végétaux
au siège Fiestaux des Charbonnages de Monceau-Fontaine (Zone de Genk, partie supérieure).

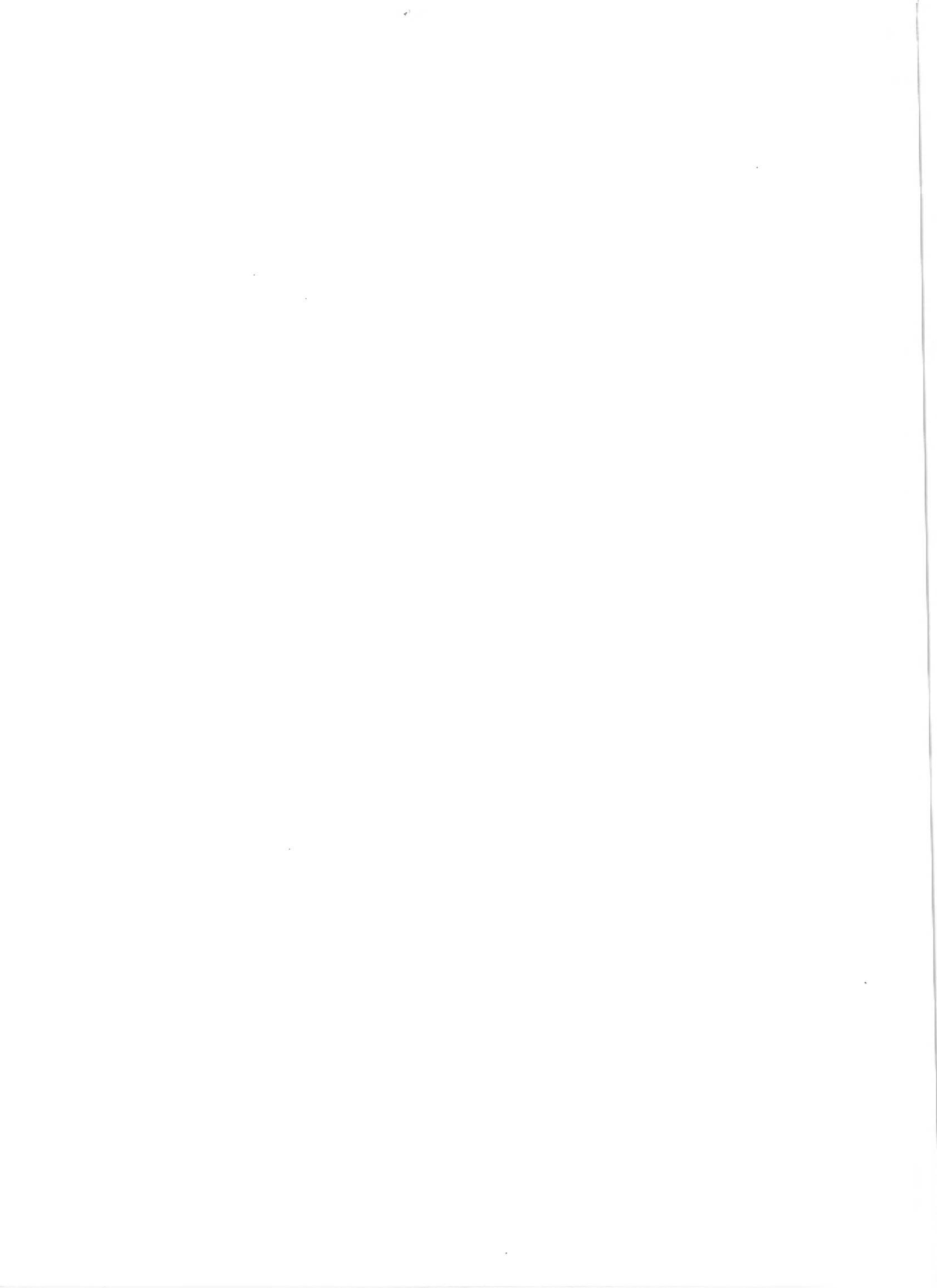


PLANCHE IV

EXPLICATION DE LA PLANCHE IV.

FIG. 1. — *Palæostachya arborescens* WEISS (non STERNBERG).

FIG. 1 a. — Le même spécimen agrandi 3 fois et montrant la forme des sporophylles ou bractées.

FIG. 2. — *Palæostachya arborescens* WEISS (non STERNBERG).
Strobile avec pédoncule.

FIG. 3. — *Palæostachya arborescens* WEISS (non STERNBERG).

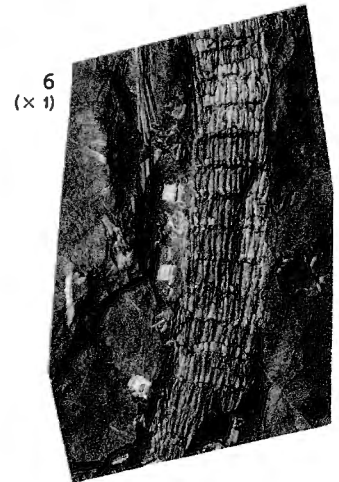
FIG. 4. — *Palæostachya arborescens* WEISS (non STERNBERG).
Partie basilaire de strobile.

FIG. 5. — *Palæostachya arborescens* WEISS (non STERNBERG).
Coupe longitudinale tangentielle dans un strobile.

FIG. 6. — *Palæostachya arborescens* WEISS (non STERNBERG).
Un strobile avant maturité.



*Palaeostachya
arborescens*
WEISS
(non STERNBERG)

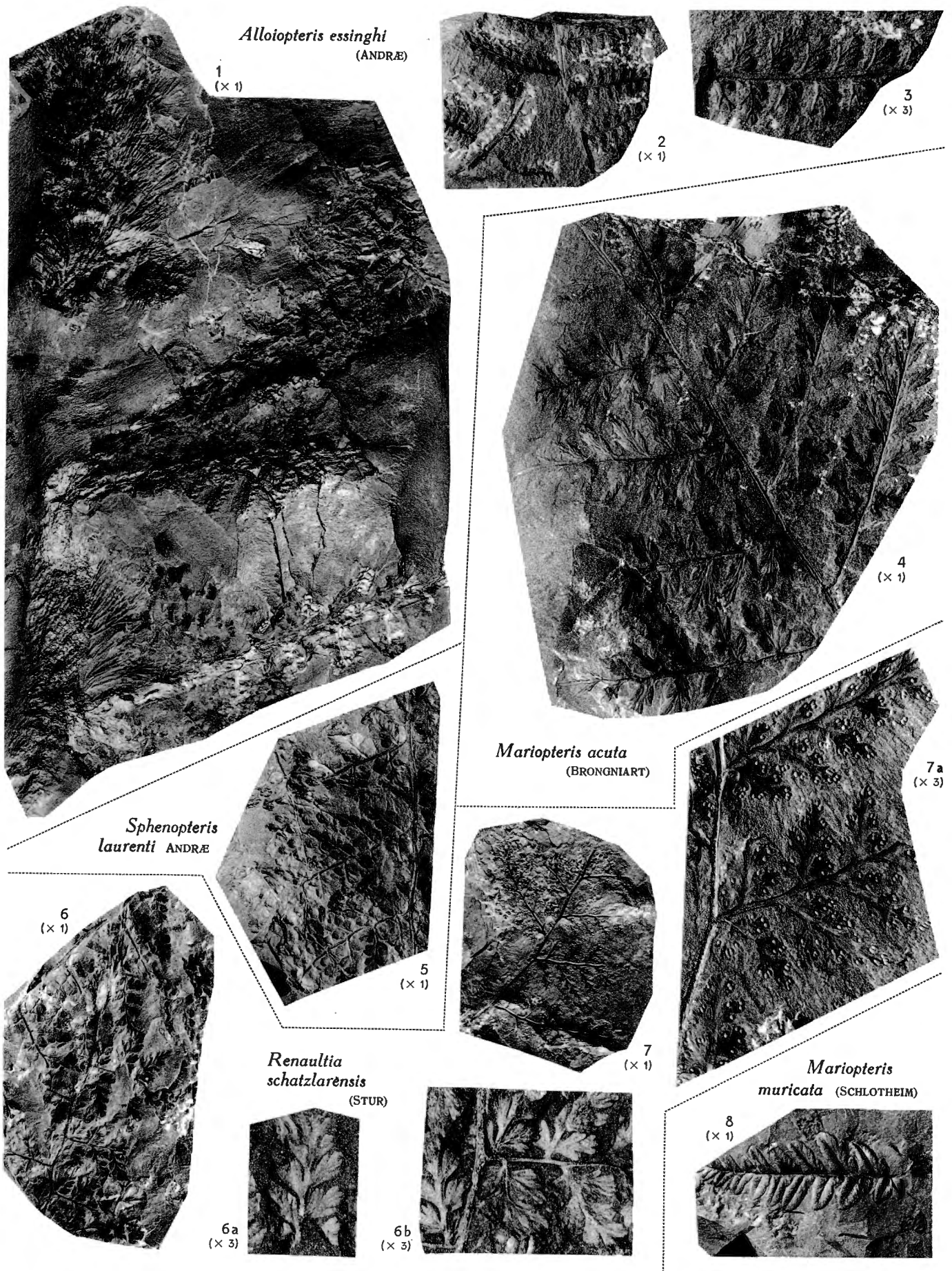


F. STOCKMANS et Y. WILLIÈRE. — Un beau toit à végétaux
au siège Fiestaux des Charbonnages de Monceau-Fontaine (Zone de Genk, partie supérieure).

PLANCHE V

EXPLICATION DE LA PLANCHE V.

- FIG. 1. — *Alloiopteris essinghi* (ANDRAE).
Extrémité de fronde primaire montrant l'accumulation d'aphlébies qui masquent les jeunes frondes enroulées en crosse.
- FIG. 2. — *Alloiopteris essinghi* (ANDRAE).
- FIG. 3 a. — Le même spécimen agrandi 3 fois.
- FIG. 4. — *Mariopteris acuta* (BRONGNIART).
- FIG. 5. — *Sphenopteris laurenti* ANDRAE.
- FIG. 6. — *Renaultia schatzlarensis* (STUR).
Fragment de fronde végétative.
- FIG. 6 a et 6 b. — Fragments du même spécimen agrandi 3 fois, mettant en évidence les divisions des pinnules.
- FIG. 7. — *Renaultia schatzlarensis* (STUR).
Fragment de fronde fertile.
- FIG. 8. — *Mariopteris muricata* (BRONGNIART).
-



F. STOCKMANS et Y. WILLIÈRE. — Un beau toit à végétaux
au siège Fiestaux des Charbonnages de Monceau-Fontaine (Zone de Genk, partie supérieure).

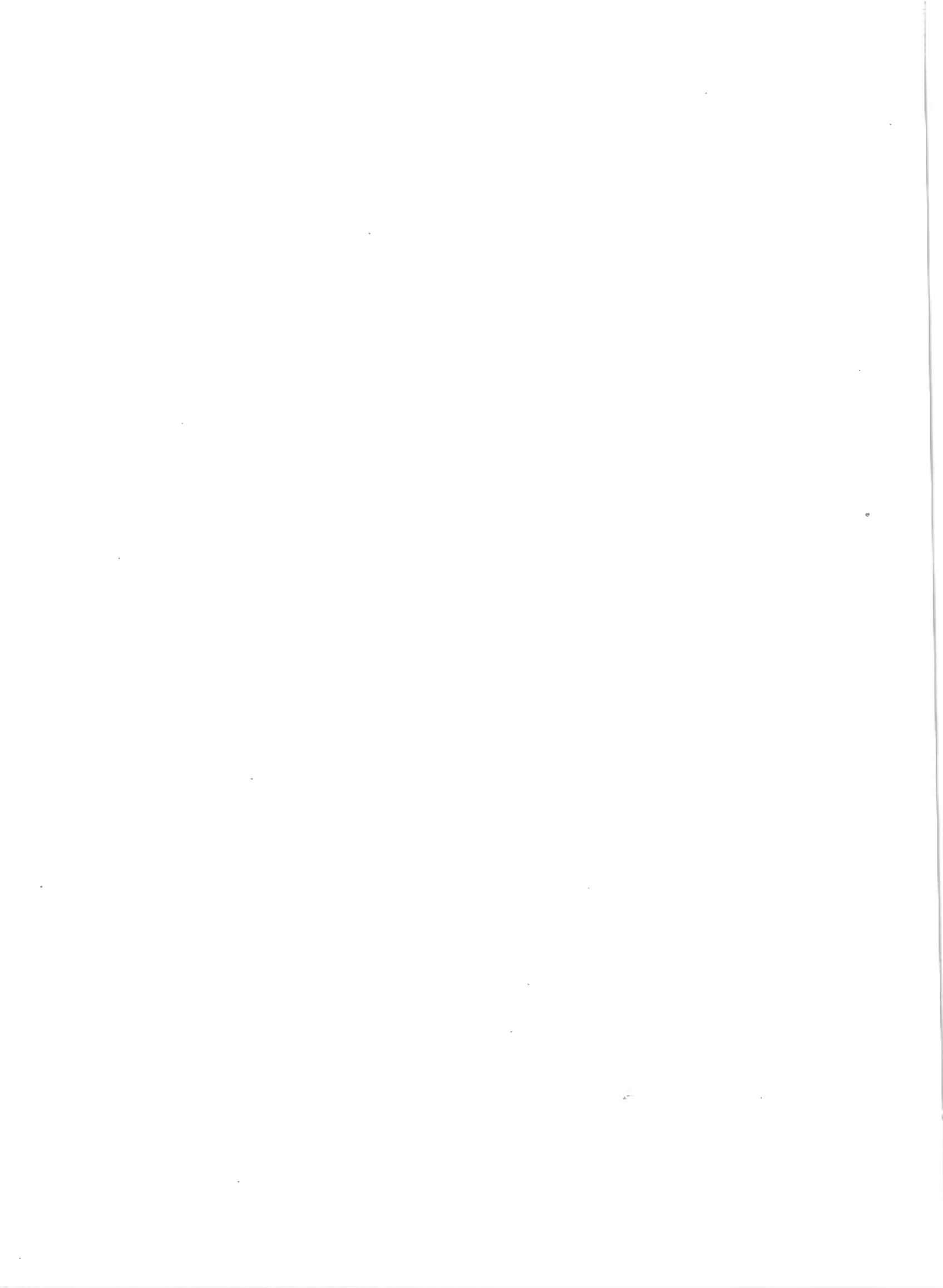


PLANCHE VI

PLANCHE VI

EXPLICATION DE LA PLANCHE VI.

FIG. 1. — *Pecopteris volkmanni* SAUVEUR.

FIG. 2. — *Pecopteris volkmanni* SAUVEUR.
Extrémité de penne d'avant-dernier ordre.

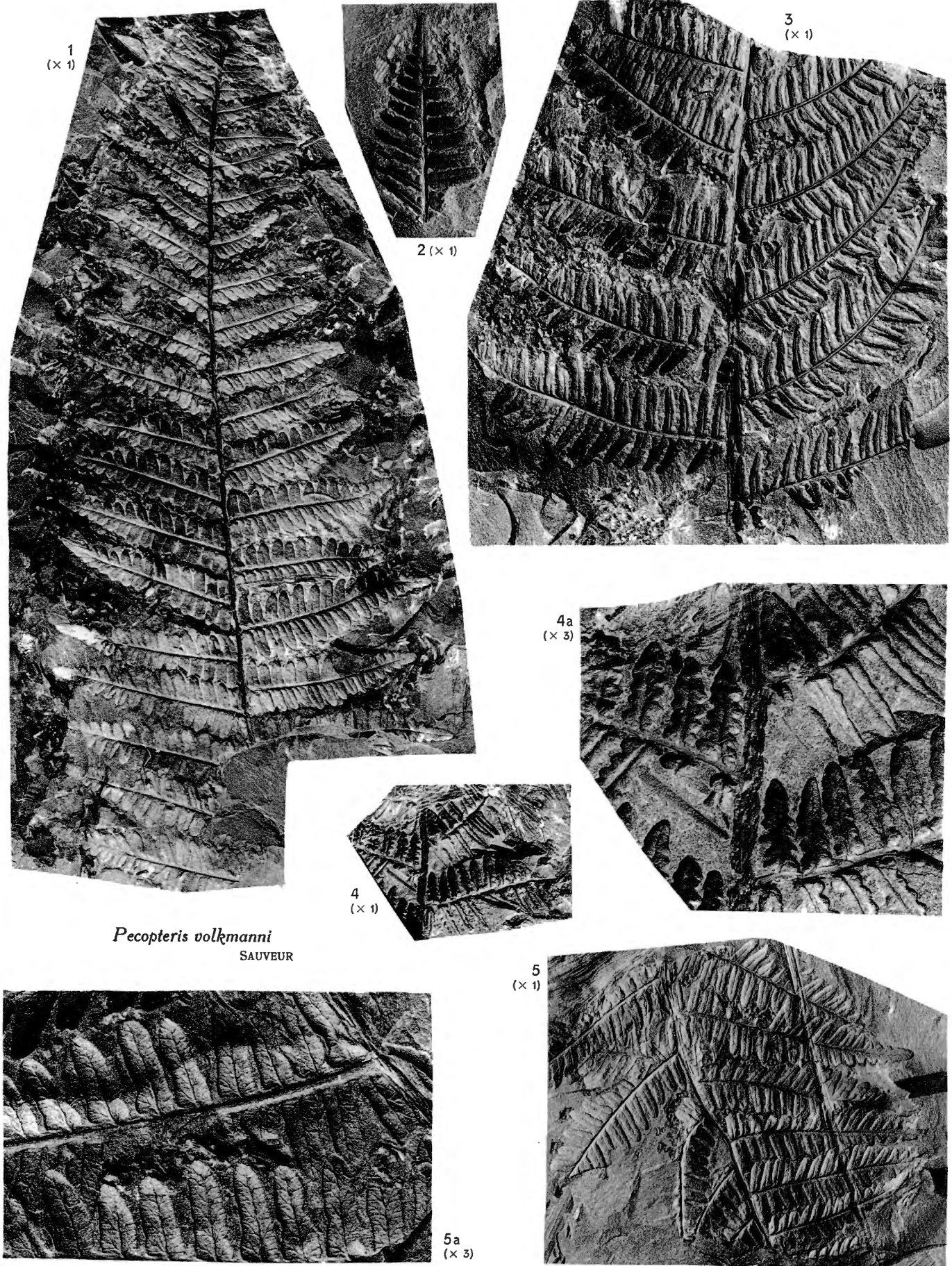
FIG. 3. — *Pecopteris volkmanni* SAUVEUR.

FIG. 4. — *Pecopteris volkmanni* SAUVEUR.

FIG. 4 a. — Le même spécimen agrandi 3 fois.
On remarquera les punctuations sur l'axe.

FIG. 5. — *Pecopteris volkmanni* SAUVEUR.

FIG. 5 a. — Fragment du même spécimen agrandi 3 fois.
La nervation des pinnules est bien visible.



F. STOCKMANS et Y. WILLIÈRE. — Un beau toit à végétaux
au siège Fiestaux des Charbonnages de Monceau-Fontaine (Zone de Genk, partie supérieure).

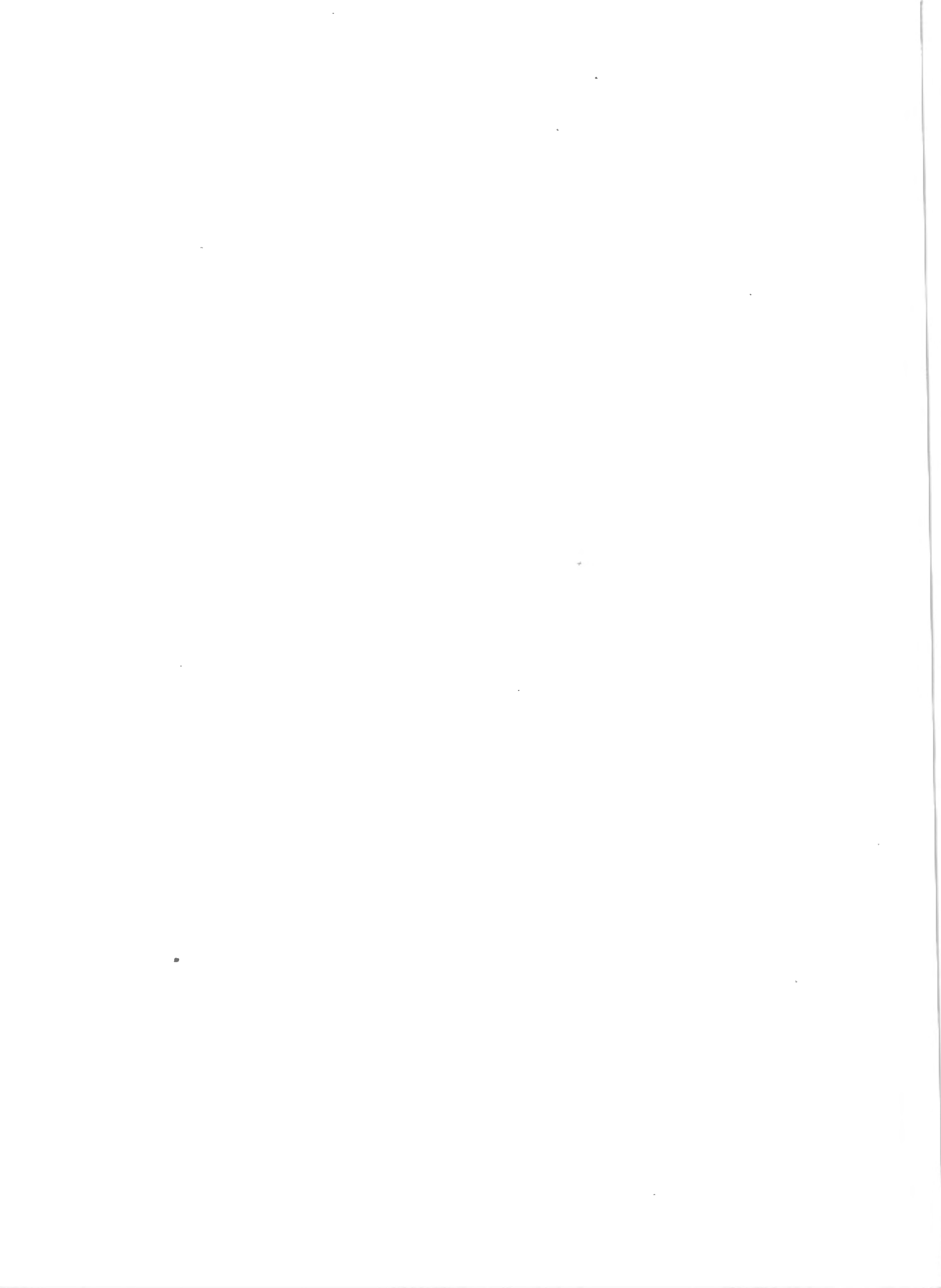


PLANCHE VII

PLANCHE VII

EXPLICATION DE LA PLANCHE VII.

FIG. 1. — *Zeilleria lignyi* nov. sp.⁽¹⁾
Pennes végétatives.

FIG. 2. — *Zeilleria lignyi* nov. sp.
Penne végétative.

FIG. 2 a. — Fragment du même spécimen agrandi 3 fois pour montrer la forme des pinnules et la nervation.

FIG. 3. — *Zeilleria lignyi* nov. sp.
Fragments fertiles.

FIG. 3 a. — Le même spécimen agrandi 3 fois.

FIG. 4. — *Zeilleria lignyi* nov. sp.
Pennes végétatives.

Diagnose. — Pennes végétatives antépénultièmes de grande taille. Pennes végétatives d'avant-dernier ordre se touchant et se superposant même par les bords, triangulaires, atteignant une dizaine de centimètres de long et 2 cm de large à la base. Pennes de dernier ordre disposées alternativement à gauche et à droite d'un rachis raide, dirigées obliquement en avant, de 12 mm de long environ, et de 4 mm de large à la base, constituées alors d'une dizaine de pinnules, mais diminuant progressivement de taille en direction apicale, pour être remplacées finalement par des pinnules d'abord d'assez grande taille, ensuite de plus en plus petites.

Une pinnule terminale.

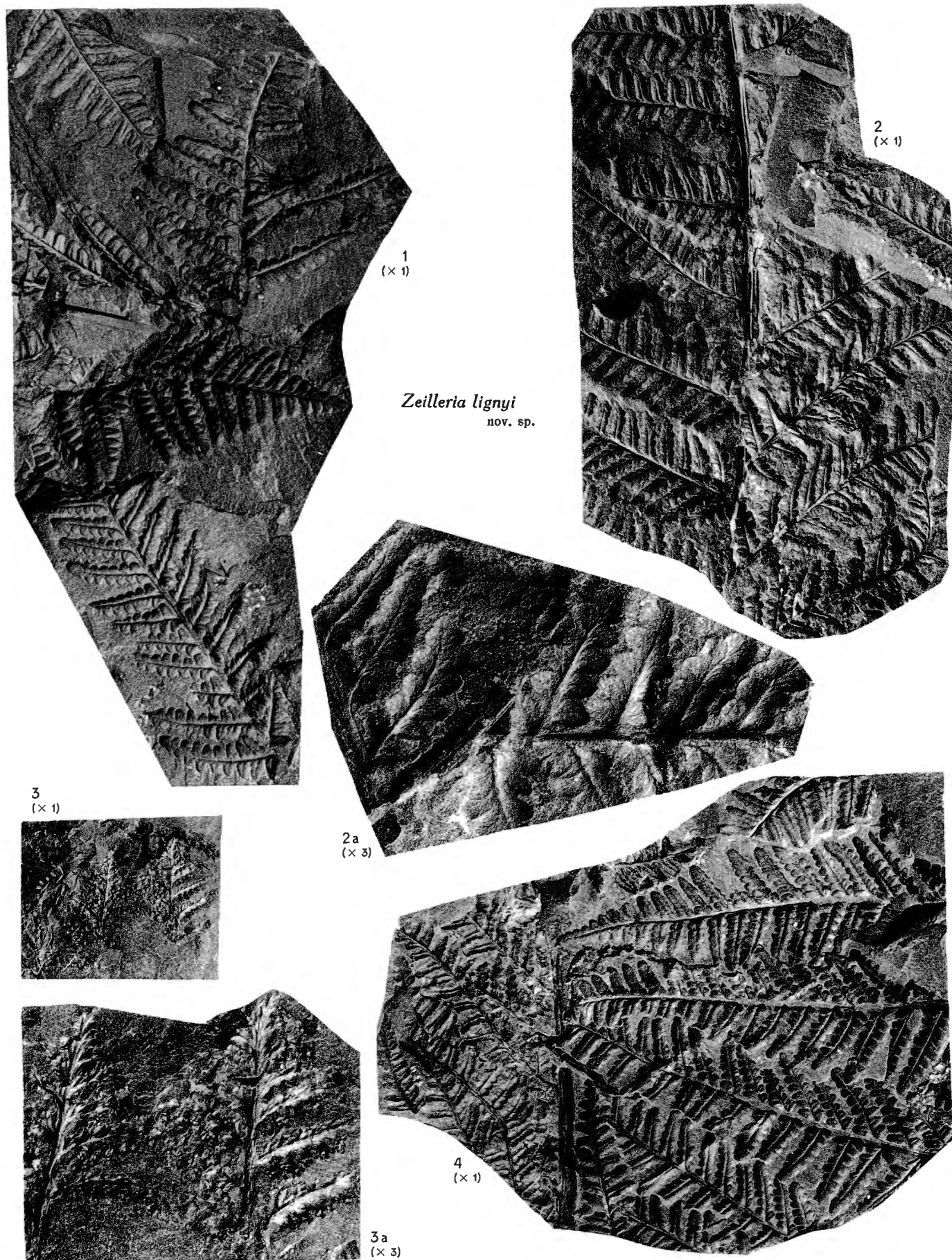
Pinnules végétatives normales de 2-4 mm de long sur 2 mm de large, mais pouvant atteindre au moins 8 mm près de l'extrémité des pennes d'avant-dernier ordre, fixées complètement par la base du rachis, légèrement obliques, à bords entiers plus ou moins ondulés, à bord antérieur arrondi; à nervure médiane forte; nervures latérales courbes, bifurquées, peu nombreuses.

Pennes sporangifères d'avant-dernier ordre à bords parallèles, larges de 4 cm et pouvant atteindre au moins 10 cm.

Pennes sporangifères de dernier ordre de 2 cm environ de long, triangulaires-falciformes, se succédant alternativement à gauche et à droite du rachis à une distance moyenne de 0,5 cm.

Pinnules sporangifères de même taille que les pinnules végétatives, mais à limbe incisé réduit à plus ou moins 3 lames linéaires ou triangulaires de 1-1,5 mm situées de part et d'autre de la nervure médiane et parcourues elles-mêmes par une nervure longitudinale, ou même apparemment réduite à ces nervures que terminent les sporanges disposés en étoile. Lobes sporangifères très serrés, donnant aux pennes de dernier ordre, en raison des sporanges aussi rapprochés, un aspect granuleux souvent peu clair.

(1) Espèce dédiée en hommage à M. JEAN LIGNY, directeur-gérant des Charbonnages de Monceau-Fontaine.



F. STOCKMANS et Y. WILLIÈRE. — Un beau toit à végétaux
au siège Fiestaux des Charbonnages de Monceau-Fontaine (Zone de Genk, partie supérieure).

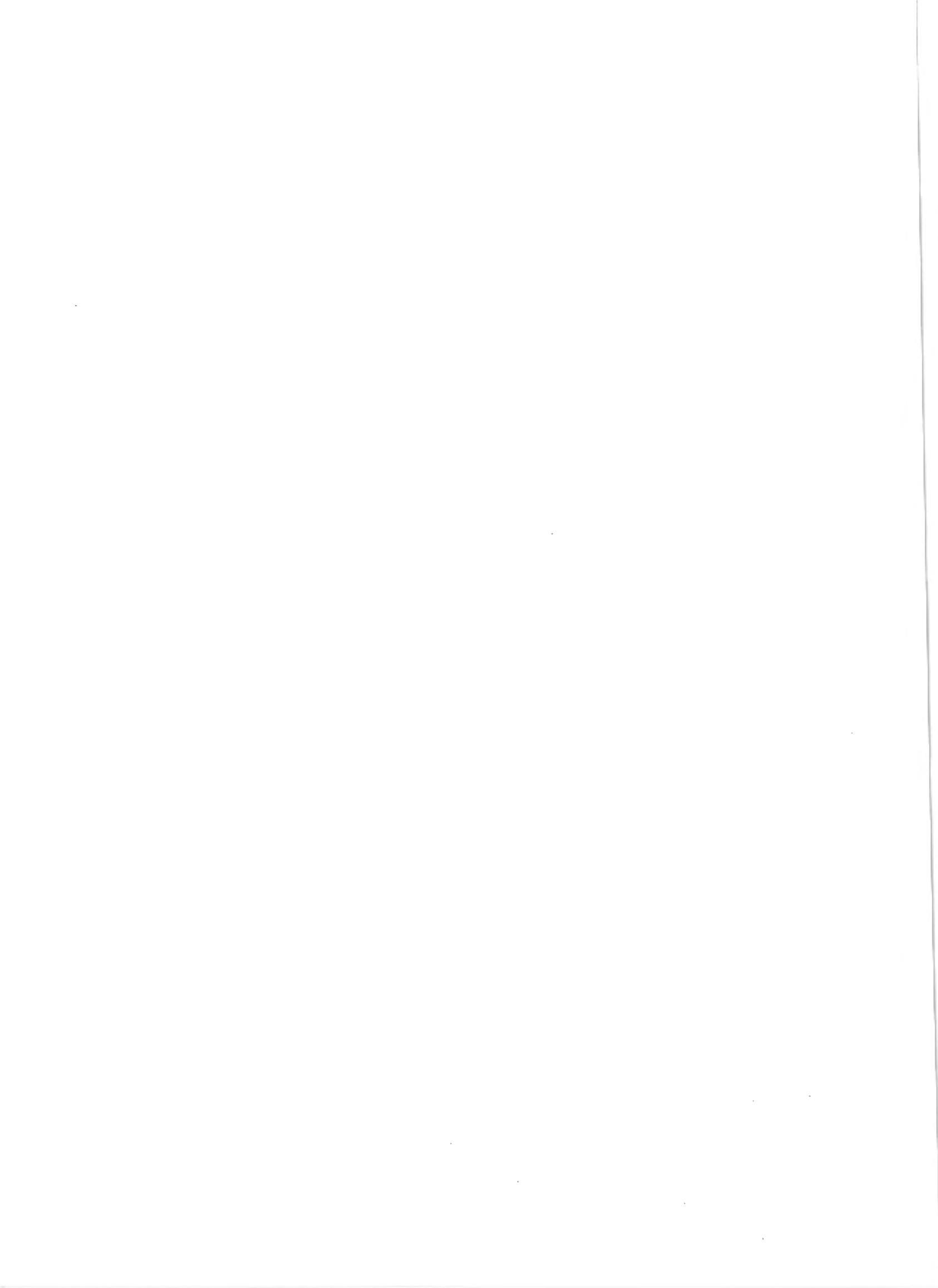


PLANCHE VIII

PLANCHE VIII

PLANCHE VIII

EXPLICATION DE LA PLANCHE VIII.

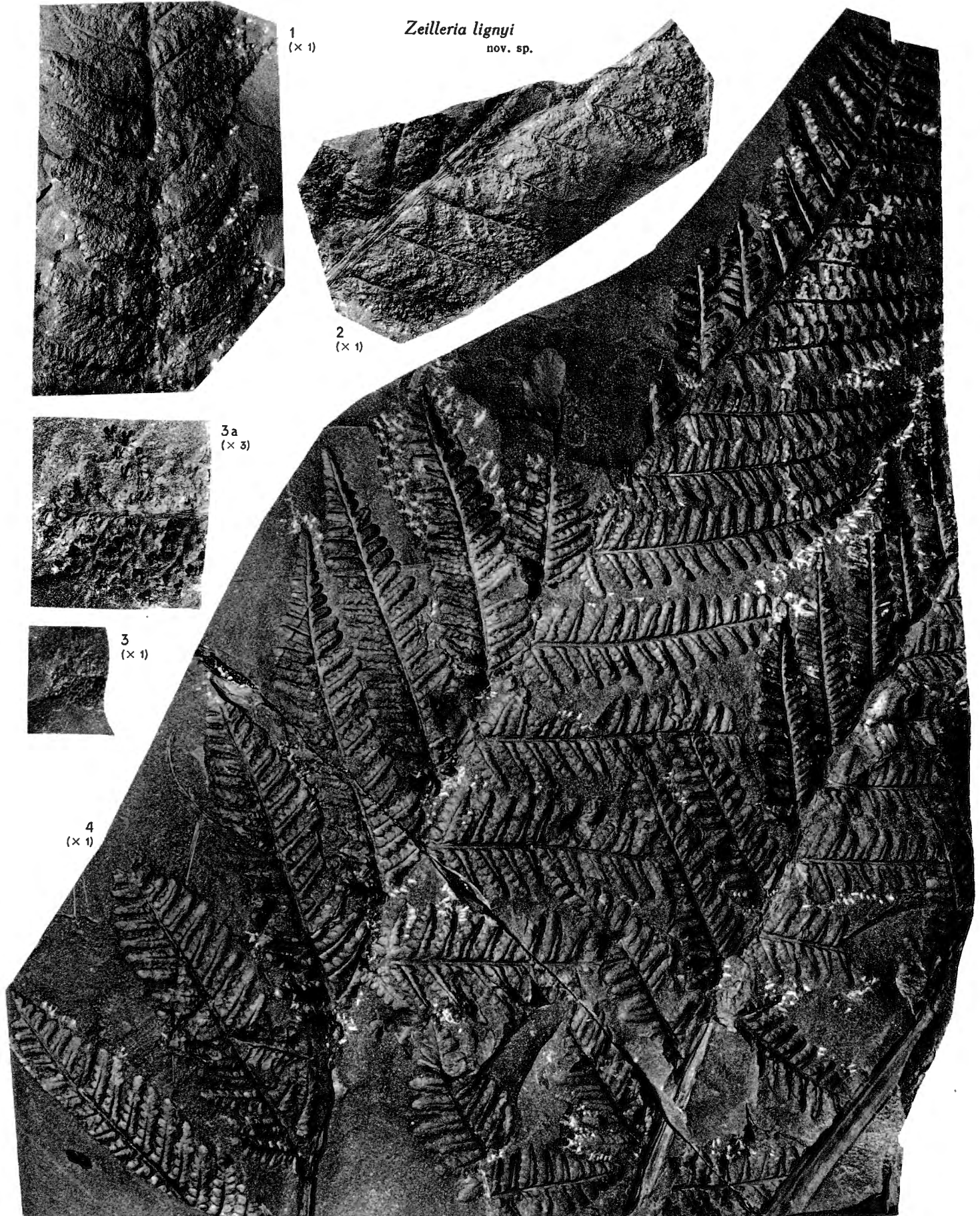
FIG. 1. — *Zeillera lignyi* nov. sp.
Penne fertile.

FIG. 2. — *Zeillera lignyi* nov. sp.
Penne fertile.

FIG. 3. — *Zeillera lignyi* nov. sp.
Penne fertile.

FIG. 3 a. — Le même spécimen agrandi 3 fois.

FIG. 4. — *Zeillera lignyi* nov. sp.
Pennes végétatives dont l'une montre la forme des pinnules de l'extrémité
de la fronde primaire.



F. STOCKMANS et Y. WILLIÈRE. — Un beau toit à végétaux
au siège Fiestaux des Charbonnages de Monceau-Fontaine (Zone de Genk, partie supérieure).

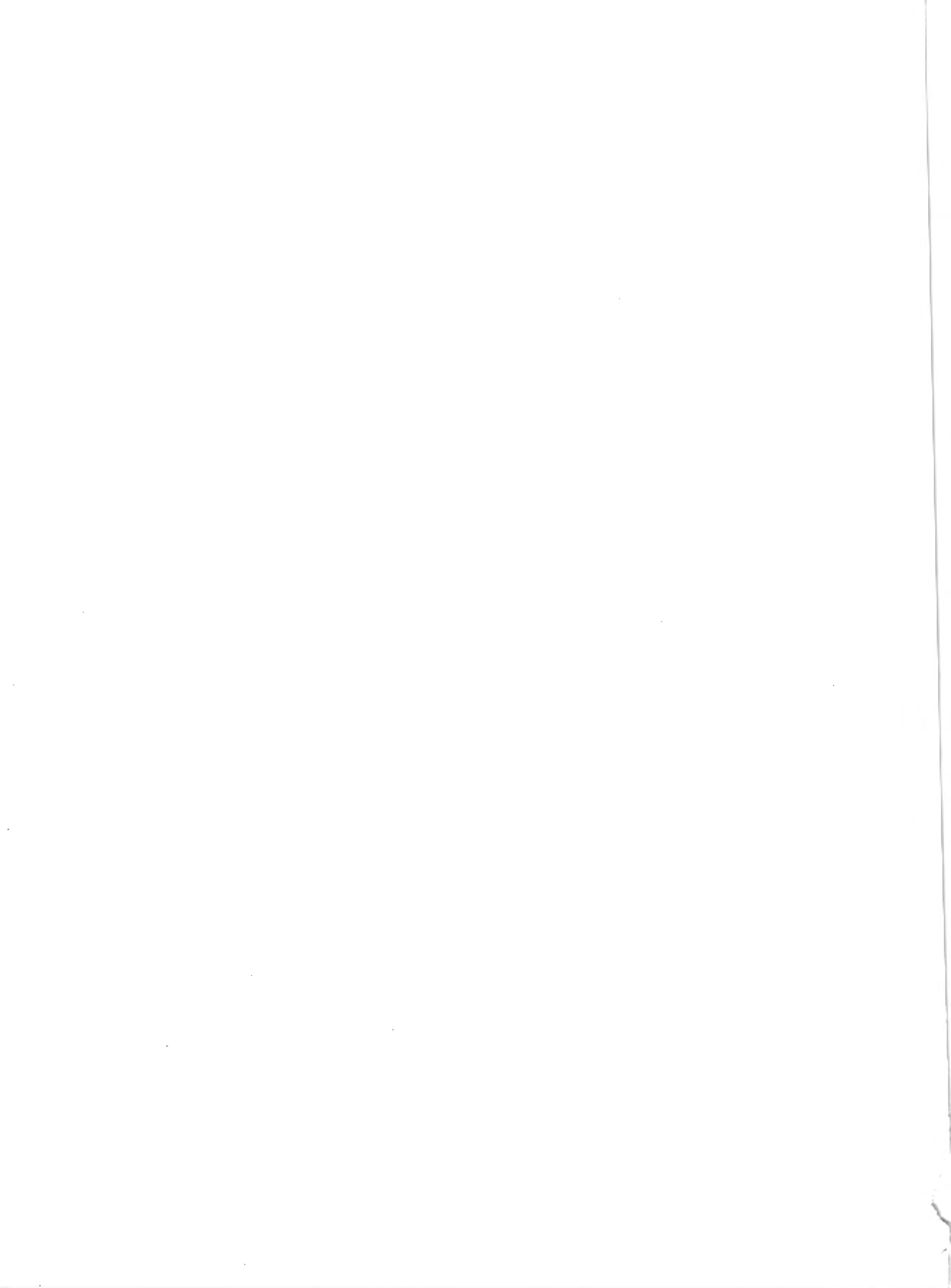


PLANCHE IX

EXPLICATION DE LA PLANCHE IX.

FIG. 1. — *Deltenrea clavæformis* nov. sp.

Diagnose. — Organes de 10 mm environ de long, en forme de massue, couverts d'appendices lamelliformes correspondant sans doute à des sporanges. Vus de haut, d'apparence plus ou moins circulaire, les appendices lamelliformes formant frange, avec probablement au centre une petite concavité; la largeur, frange comprise, variant entre 9,7 et 5,7 mm. Situés isolément à l'extrémité de rameaux étroits de 2-3 cm de long, non ramifiés, ceux-ci à disposition vraisemblablement spiralée, la distance étant de l'ordre du centimètre.

FIG. 1 a. — Le même spécimen agrandi 3 fois.

FIG. 2. — *Deltenrea clavæformis* nov. sp.
Spécimen montrant la ramification de l'axe.

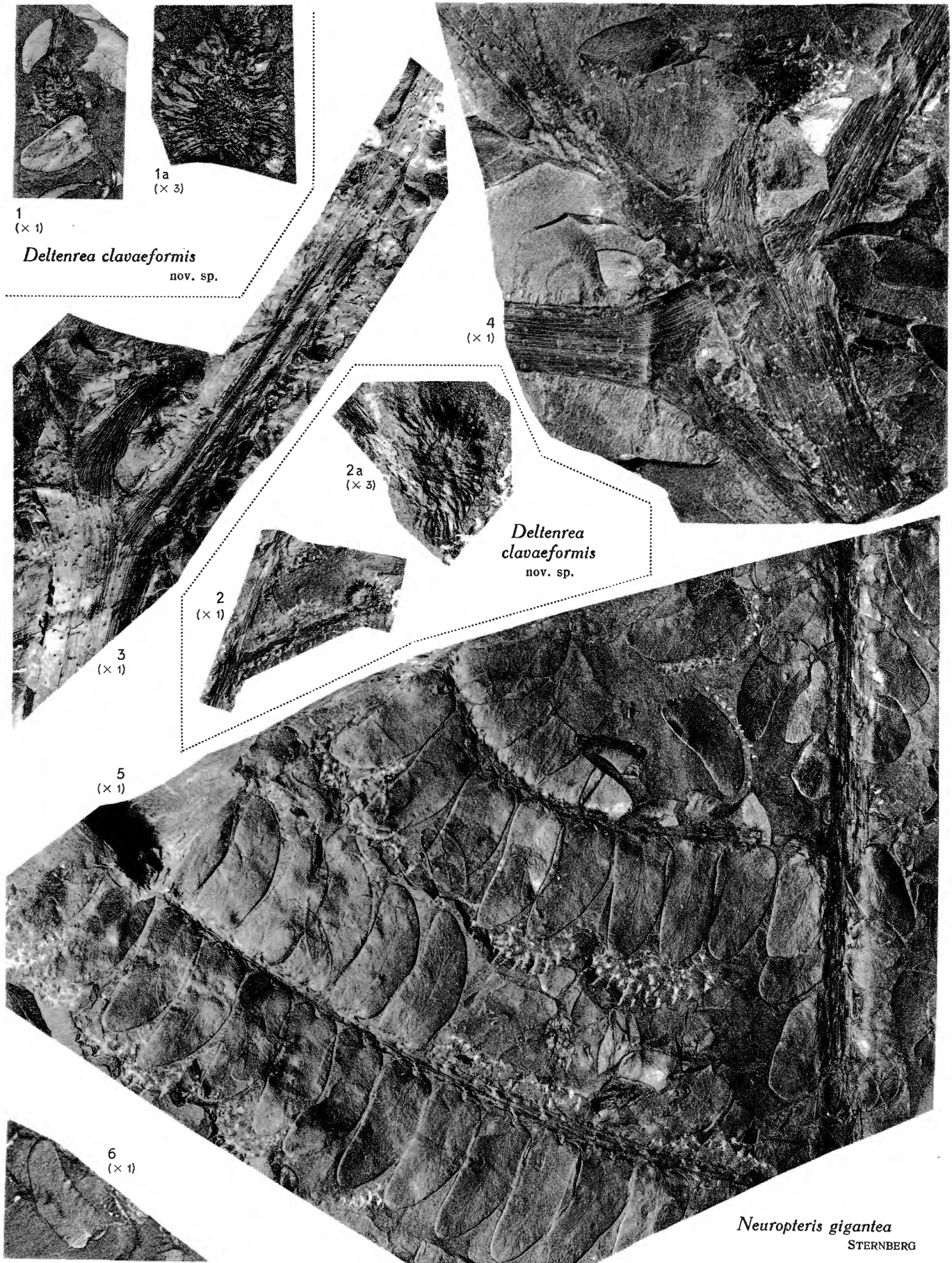
FIG. 2 a. — Le même spécimen agrandi 3 fois.

FIG. 3. — *Neuropteris gigantea* STERNBERG.
Axe ramifié et ponctué.

FIG. 4. — *Neuropteris gigantea* STERNBERG.
Axes ramifiés et ponctués.

FIG. 5. — *Neuropteris gigantea* STERNBERG.
Fragment de fronde végétative.

FIG. 6. — *Neuropteris gigantea* STERNBERG.
Pinnule isolée.



F. STOCKMANS et Y. WILLIÈRE. — Un beau toit à végétaux
au siège Fiestaux des Charbonnages de Monceau-Fontaine (Zone de Genk, partie supérieure).

PLANCHE X

EXPLICATION DE LA PLANCHE X.

FIG. 1. — *Neuropteris obliqua* (BRONGNIART).

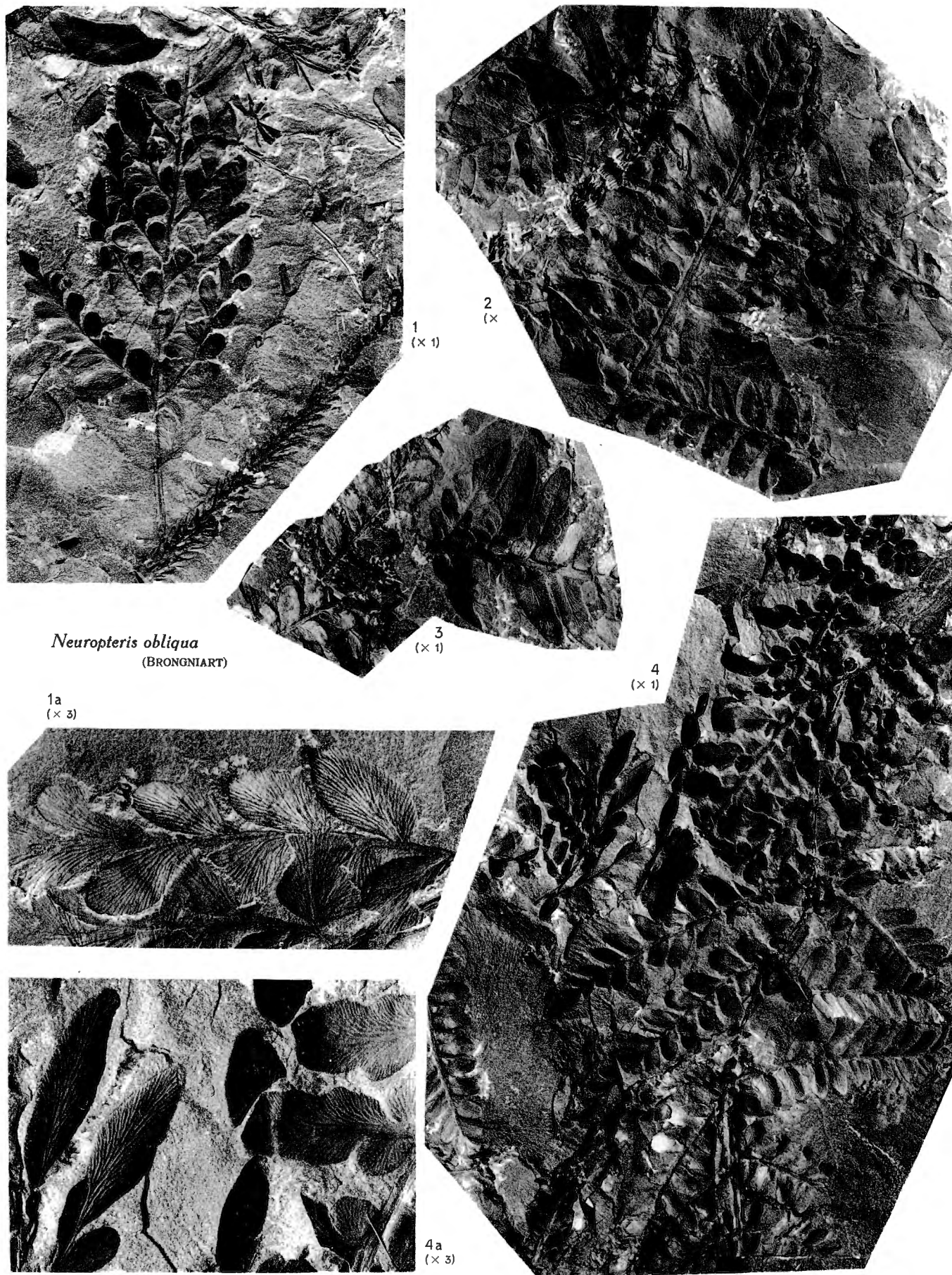
FIG. 1 a. — Fragment du même spécimen agrandi 3 fois.

FIG. 2. — *Neuropteris obliqua* (BRONGNIART).

FIG. 3. — *Neuropteris obliqua* (BRONGNIART).

FIG. 4. — *Neuropteris obliqua* (BRONGNIART).

FIG. 4 a. — Fragment du même spécimen agrandi 3 fois.



F. STOCKMANS et Y. WILLIÈRE. — Un beau toit à végétaux
au siège Fiestaux des Charbonnages de Monceau-Fontaine (Zone de Genk, partie supérieure).



PLANCHE XI

EXPLICATION DE LA PLANCHE XI.

FIG. 1 à 10. — *Neurospermum wildii* (KIDSTON).

Stades divers de maturité des graines. Les figures 7, 8 et 10 rappellent l'échantillon type de KIDSTON; la figure 6, une des deux graines attribuées dans le sondage n° 12 Reuver (Pays-Bas) à *Neuropteris obliqua* par KIDSTON et JONGMANS.

On remarquera plus particulièrement la graine garnie à la base d'un pinnule aphléboïde (fig. 2), celle avec petite penne de *Neuropteris obliqua* (fig. 3 et 6), celle avec pinnule aphléboïde et pinnule de *N. obliqua* (fig. 4). Quant à la graine représentée à la figure 5, nous la considérons comme noyau dépouillé de l'enveloppe charnue fibreuse extérieure.

FIG. 11 — *Cyclopteris undulata* nov. sp.

Diagnose. — Pinnules semi-circulaires atteignant 2,25 cm environ de rayon, à surface fortement ondulée dans la moitié extérieure qui est marquée de larges sillons rayonnants, distants d'environ 0,5 cm les uns des autres dans les plus développées. Région intérieure uniformément bombée ou plate. Nervation rayonnante. Nervures d'égale valeur, plusieurs fois subdivisées.

FIG. 12 — *Cyclopteris undulata* nov. sp.



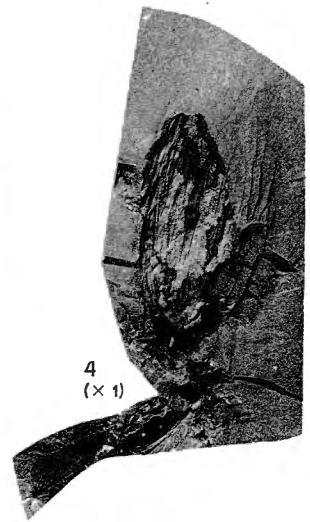
1
(x 1)



2
(x 1)



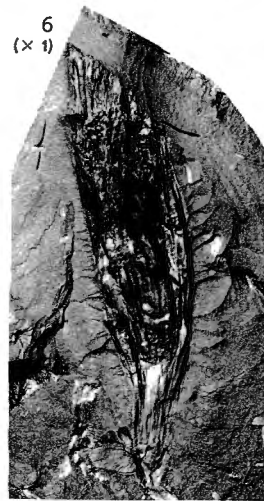
3
(x 1)



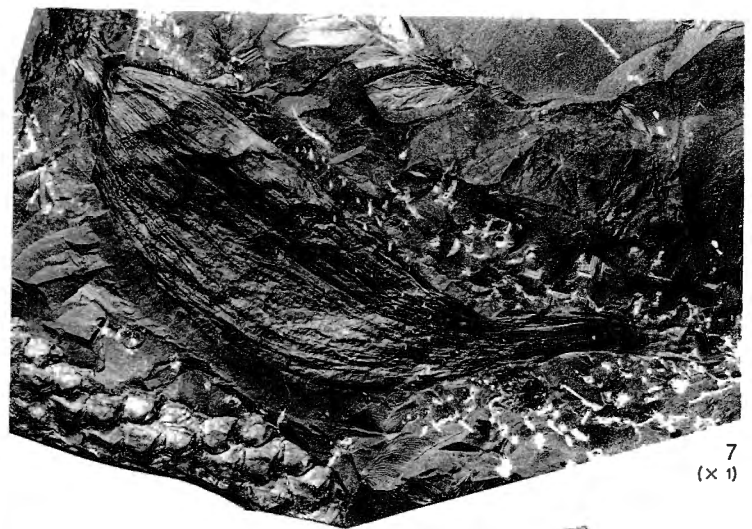
4
(x 1)



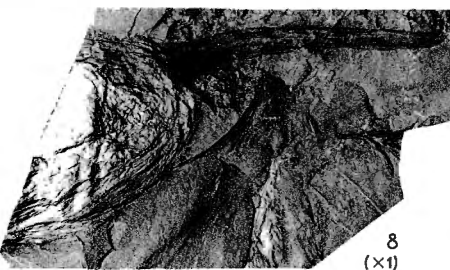
5
(x 1)



6
(x 1)

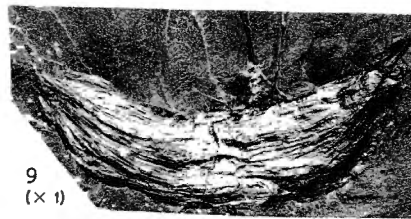


7
(x 1)



8
(x 1)

Neurospermum wildii (KIDSTON)



9
(x 1)



10
(x 1)



11
(x 1)

Cyclopteris undulata nov. sp.



12
(x 1)

F. STOCKMANS et Y. WILLIÈRE. — Un beau toit à végétaux
au siège Fiestaux des Charbonnages de Monceau-Fontaine (Zone de Genk, partie supérieure).



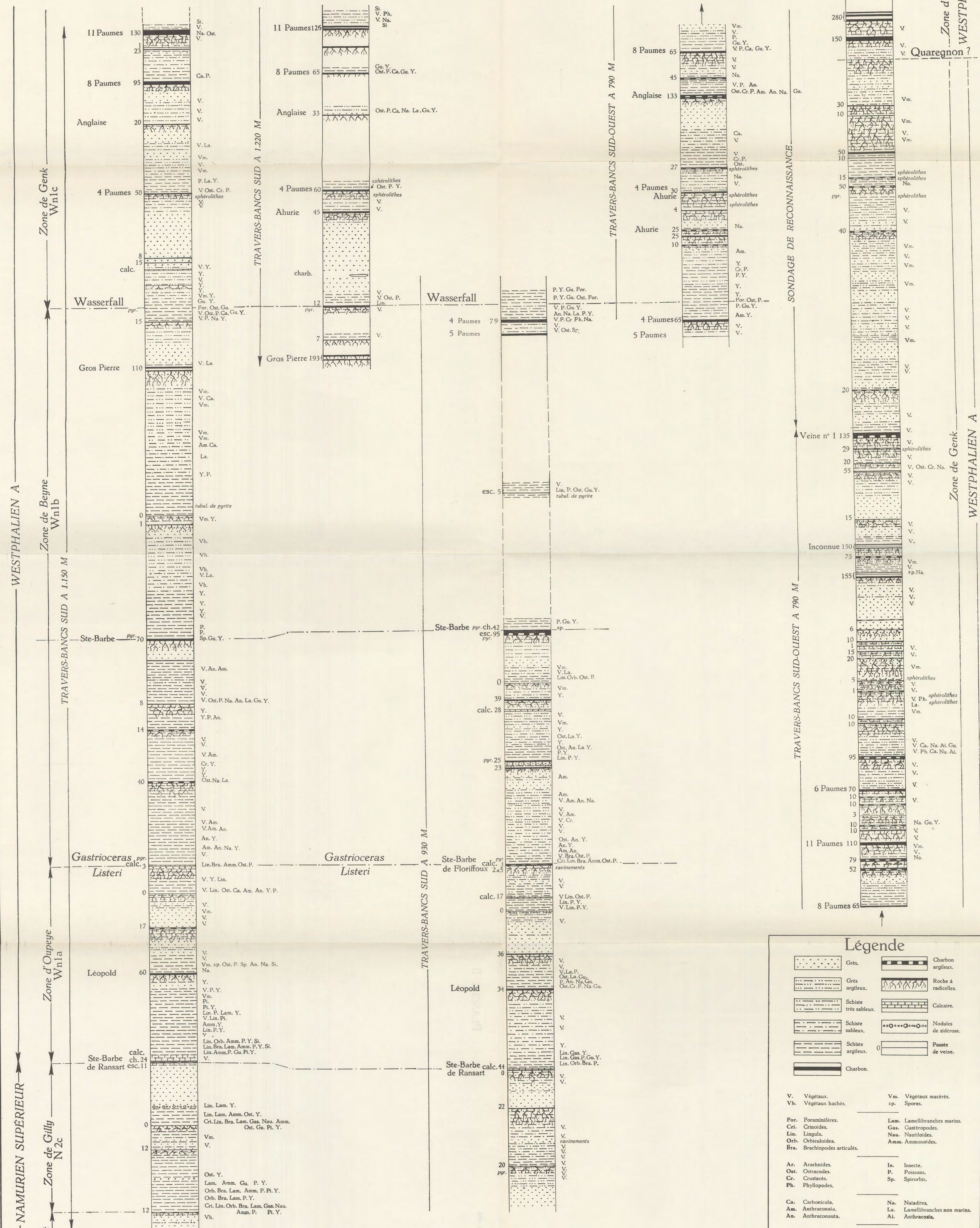




Siège n° 23 "CERISIER"

Siège n° 25 "BLANCHISSERIE"

Siège n° 24 "FIESTAUX"

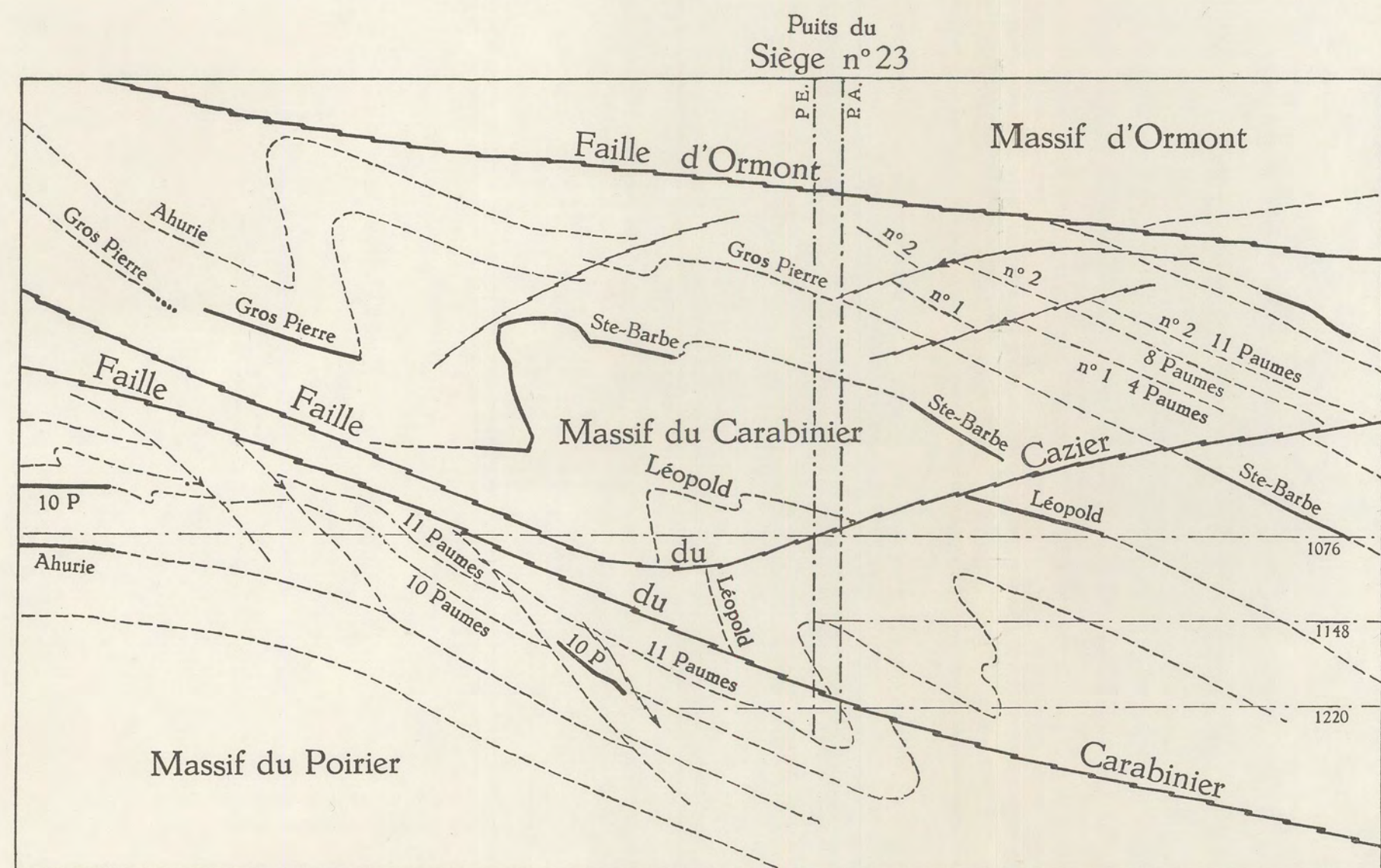


Légende

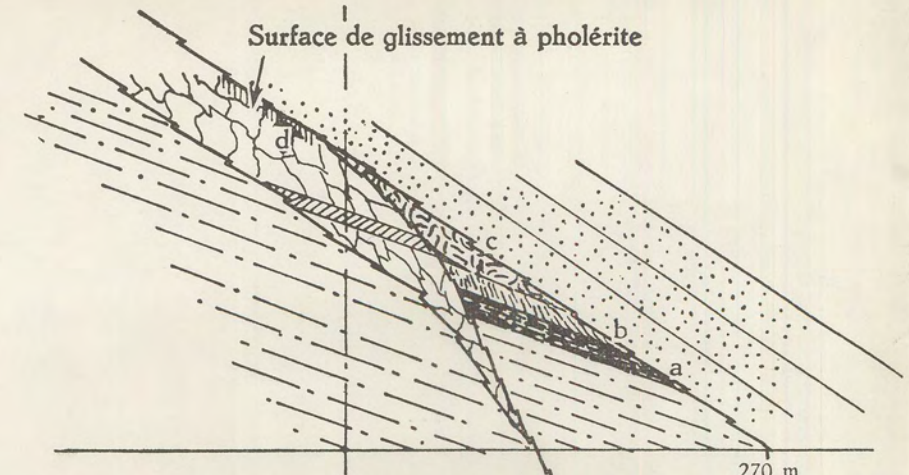
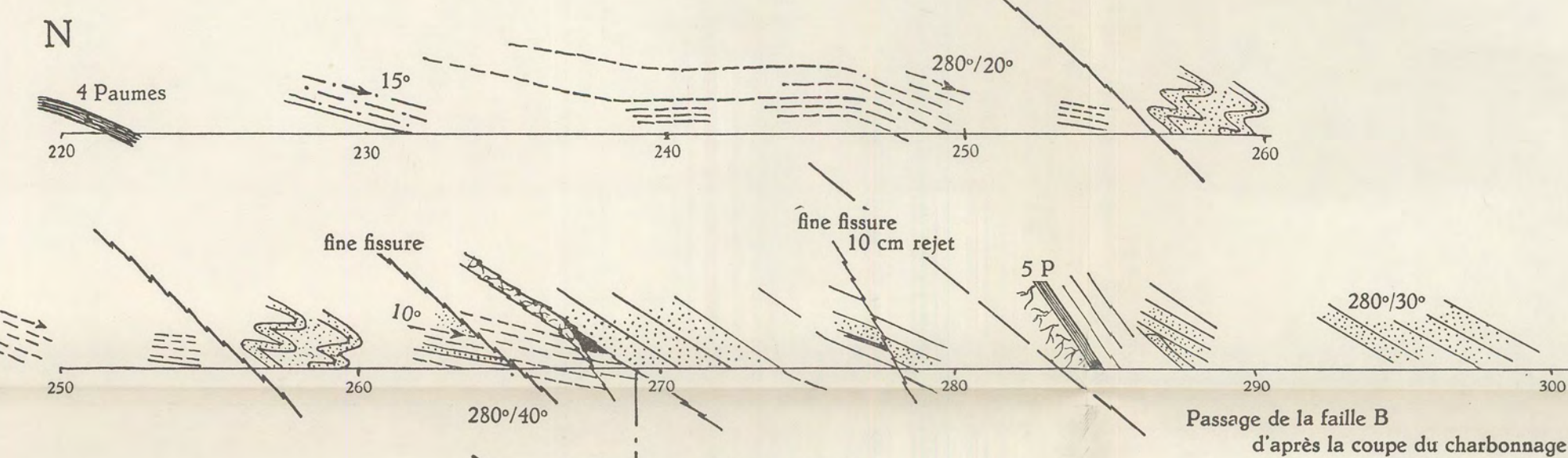
	Grès.		Charbon argileux.
	Grès argileux.		Roche à radicales.
	Schiste très sableux.		Calcaire.
	Schiste sableux.		Nodules de sidérose.
	Schiste argileux.		Passée de veine.
	Charbon.		

V.	Végétaux.	Vm.	Végétaux macérés.
Vh.	Végétaux hachés.	sp.	Spores.
For.	Foraminifères.	Lam.	Lamellibranches marines.
Cri.	Crinoides.	Gas.	Gastéropodes.
Lin.	Lingula.	Nau.	Nautiloïdes.
Orb.	Orbiculoïdes.	Amm.	Ammonotides.
Bra.	Brachiopodes articulés.		
Ar.	Arachnides.	In.	Insectes.
Ost.	Ostracodes.	P.	Poissons.
Cr.	Crustacés.	Sp.	Spirorbis.
Ph.	Phyllopoïdes.		
Ca.	Carbonicola.	Na.	Naïadites.
Am.	Anthracoïdes.	La.	Lamellibranches non marines.
An.	Anthracoïdes.	Al.	Anthracoïdes.
Gu.	Guillemites.	Y.	Yeux (Planolites).
Pi.	Pistes.	Si.	Sinustes.

Échelle : 1/500

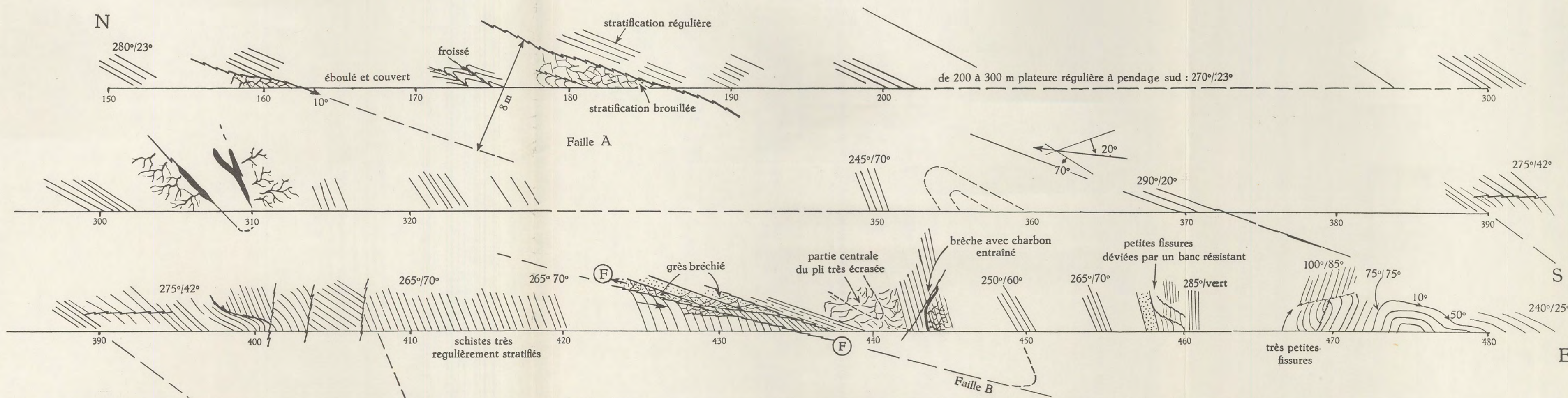


EXTRAIT DE LA COUPE VERTICALE NORD-SUD N° 45 DE MONCEAU-FONTAINE
Méridienne — 33.552 Échelle : 1/5000



Échelle : 1/50
a) charbon régulièrement lité;
b) escaille à clivage oblique régulier;
c) charbon écrasé;
d) schiste broyé avec un gros lit de sidérose intact.

Siège n° 24 "FIESTAUX"
Travers-bancs sud à 850 m.
Échelle : 1/200

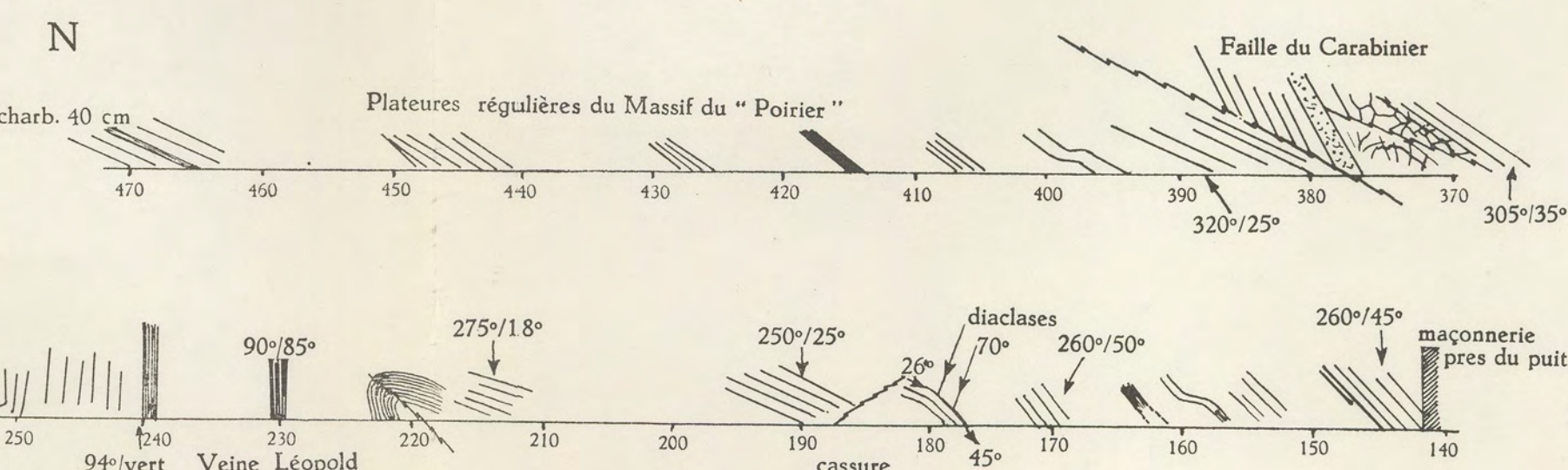
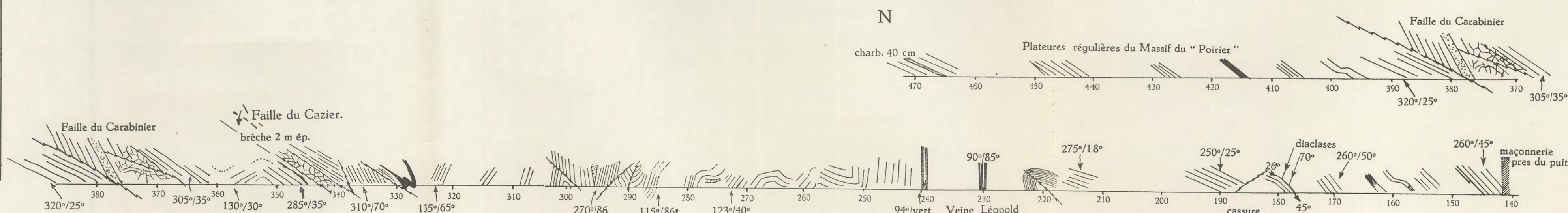


CHARBONNAGES DE MONCEAU-FONTAINE
DIVISION MARCINELLE

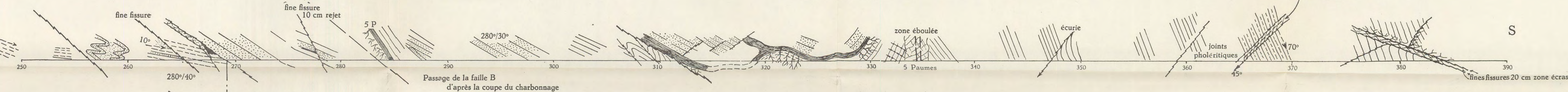
LEVÉS TECTONIQUES AU "CERISIER", ET AU "FIESTAUX".

220 Distances cumulées; origine : l'axe du puits d'entrée d'air.

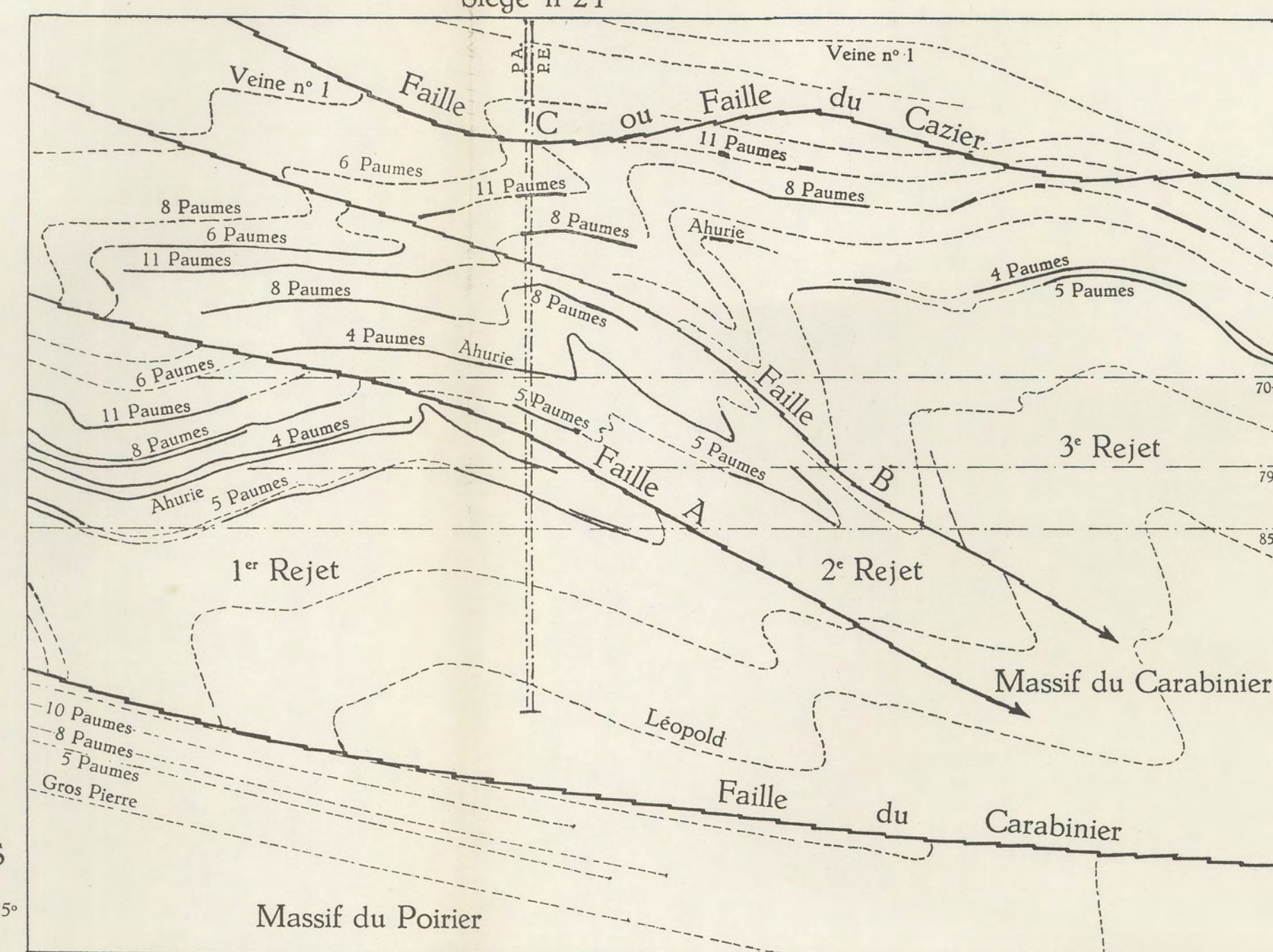
Siège n° 23 "CERISIER"
Travers-bancs Nord à 1.083 m.
Échelle : 1/500



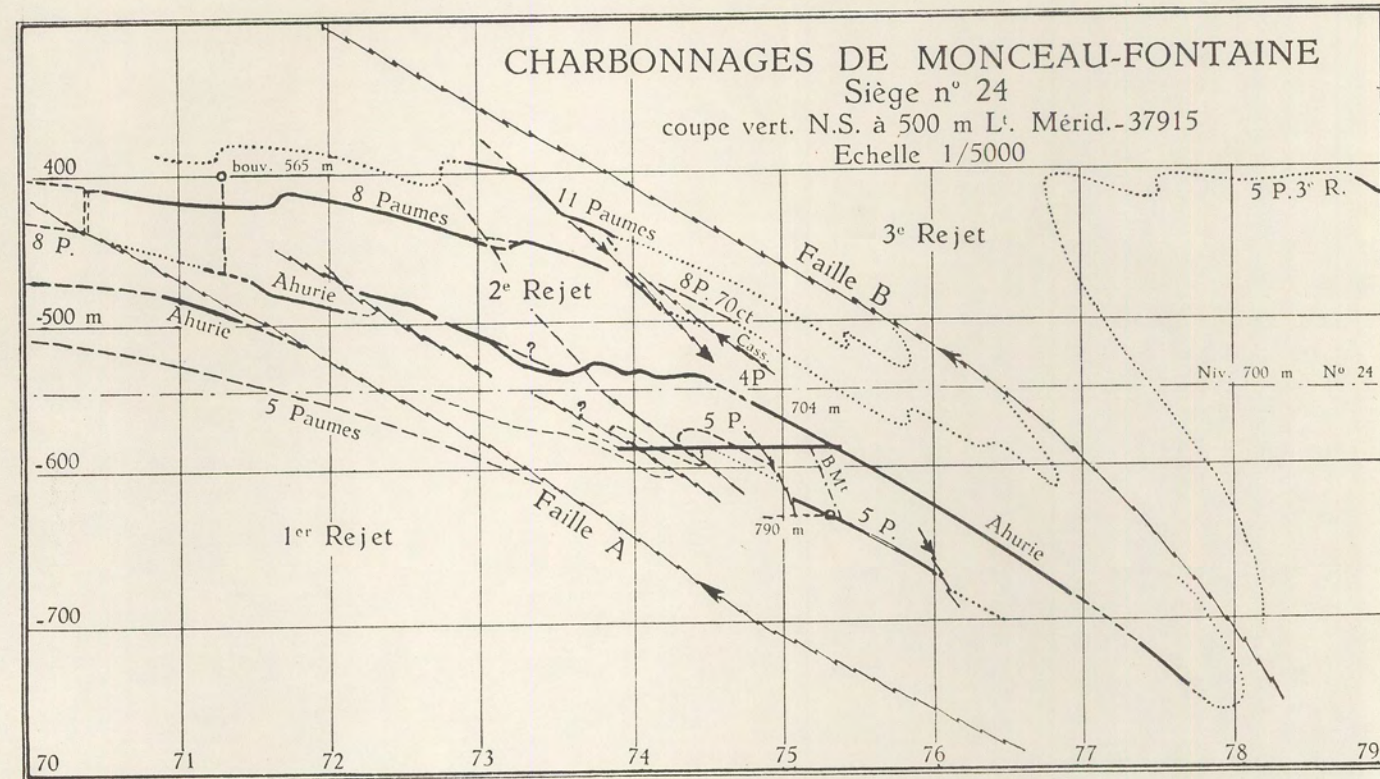
Siège n° 24 "FIESTAUX"
Travers-bancs sud à 790 m.
Échelle : 1/200



Puits du Siège n°24

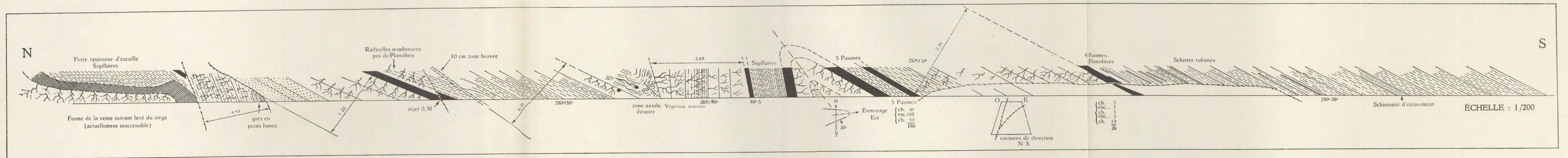


EXTRAIT DE LA COUPE VERTICALE NORD-SUD N° 7 DE MONCEAU-FONTAINE
Méridienne — 37.446 Échelle : 1/5000



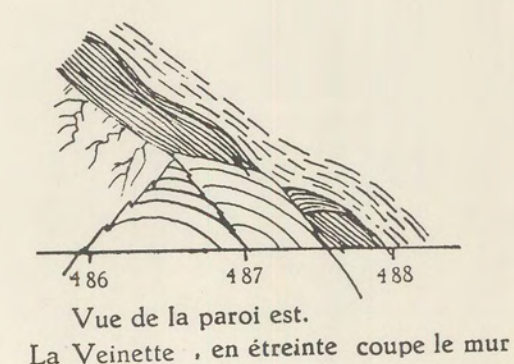
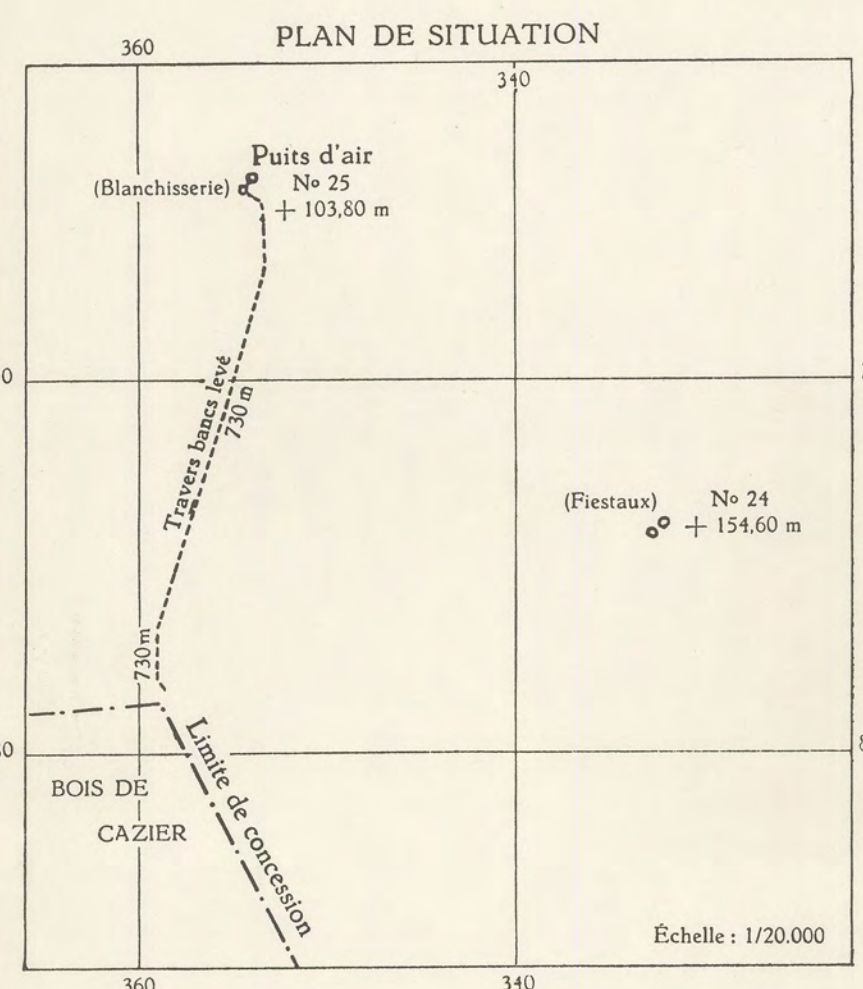
CHARBONNAGES DE MONCEAU-FONTAINE
DIVISION MARCINELLE

SIÈGE N° 24 - FIESTAUX
TRAVERS-BANCS NORD-SUD A 743 m

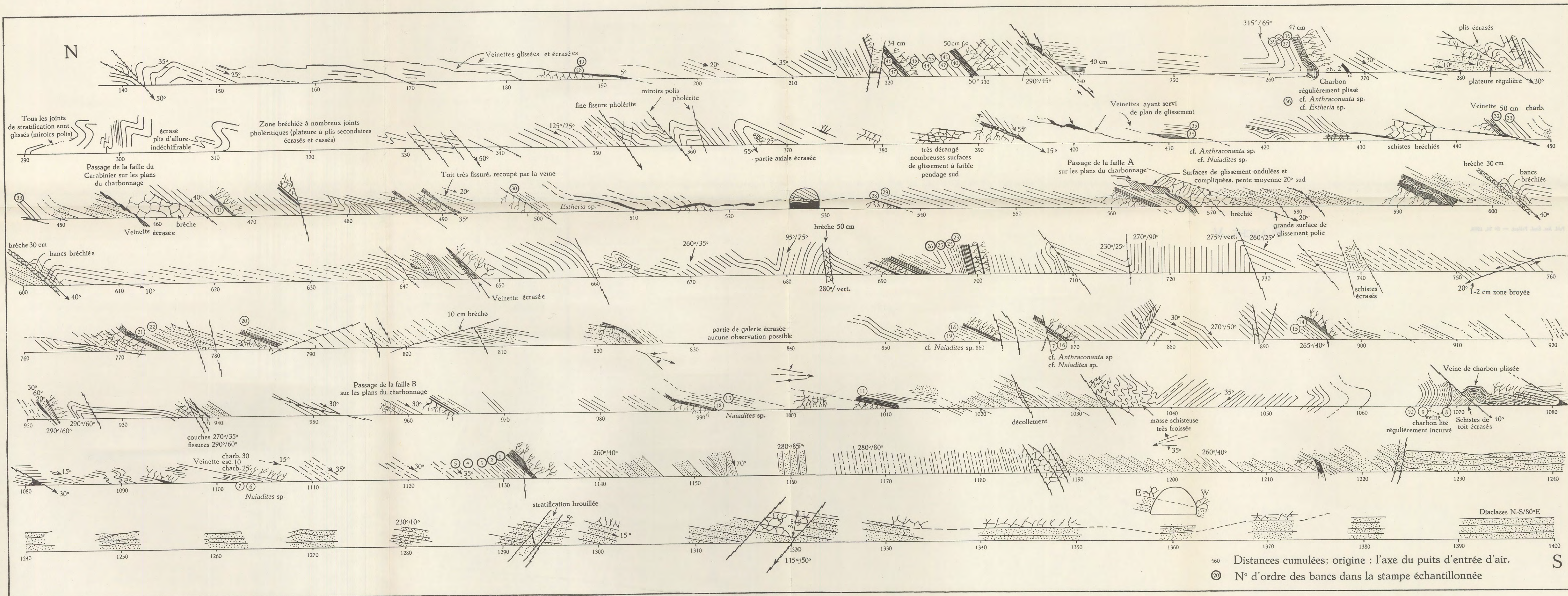


CHARBONNAGES DE MONCEAU-FONTAINE
DIVISION MARCINELLE

SIÈGE N° 25 - BLANCHISSERIE
LEVÉ TECTONIQUE DU TRAVERS-BANCS SUD A 730 m

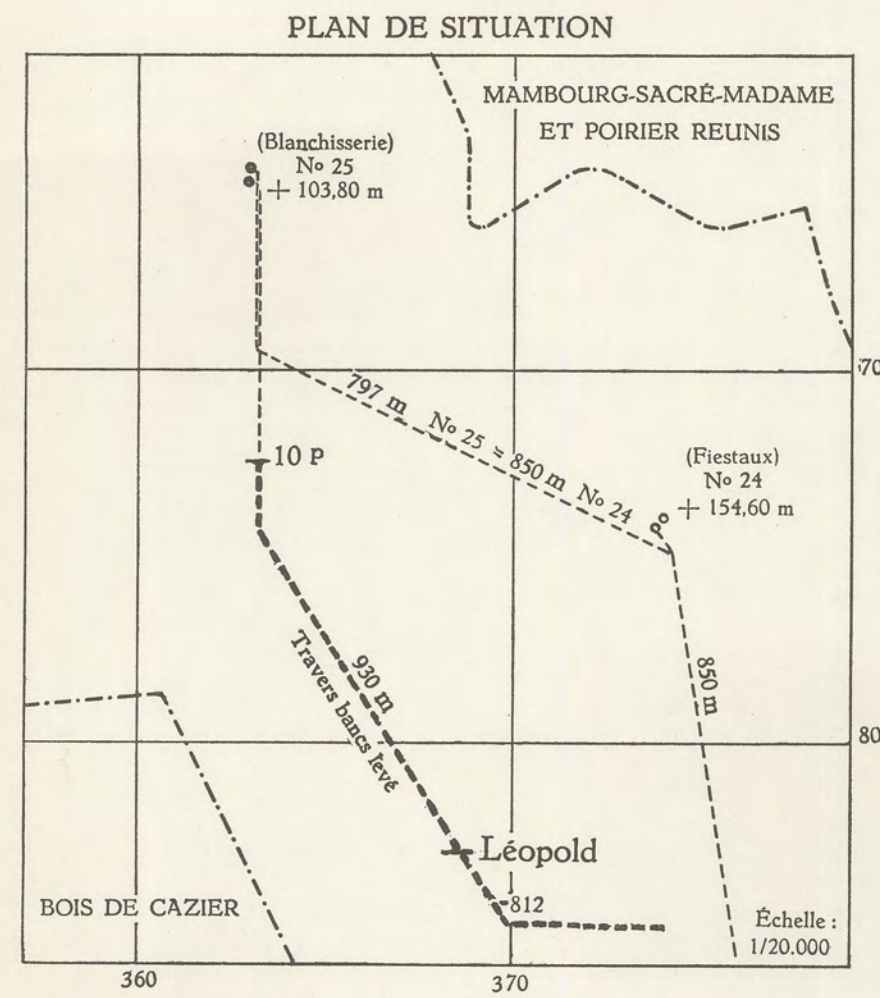


ÉCHELLE 1/200



460 Distances cumulées; origine : l'axe du puits d'entrée d'air.
⑩ N° d'ordre des bancs dans la stampe échantillonnée

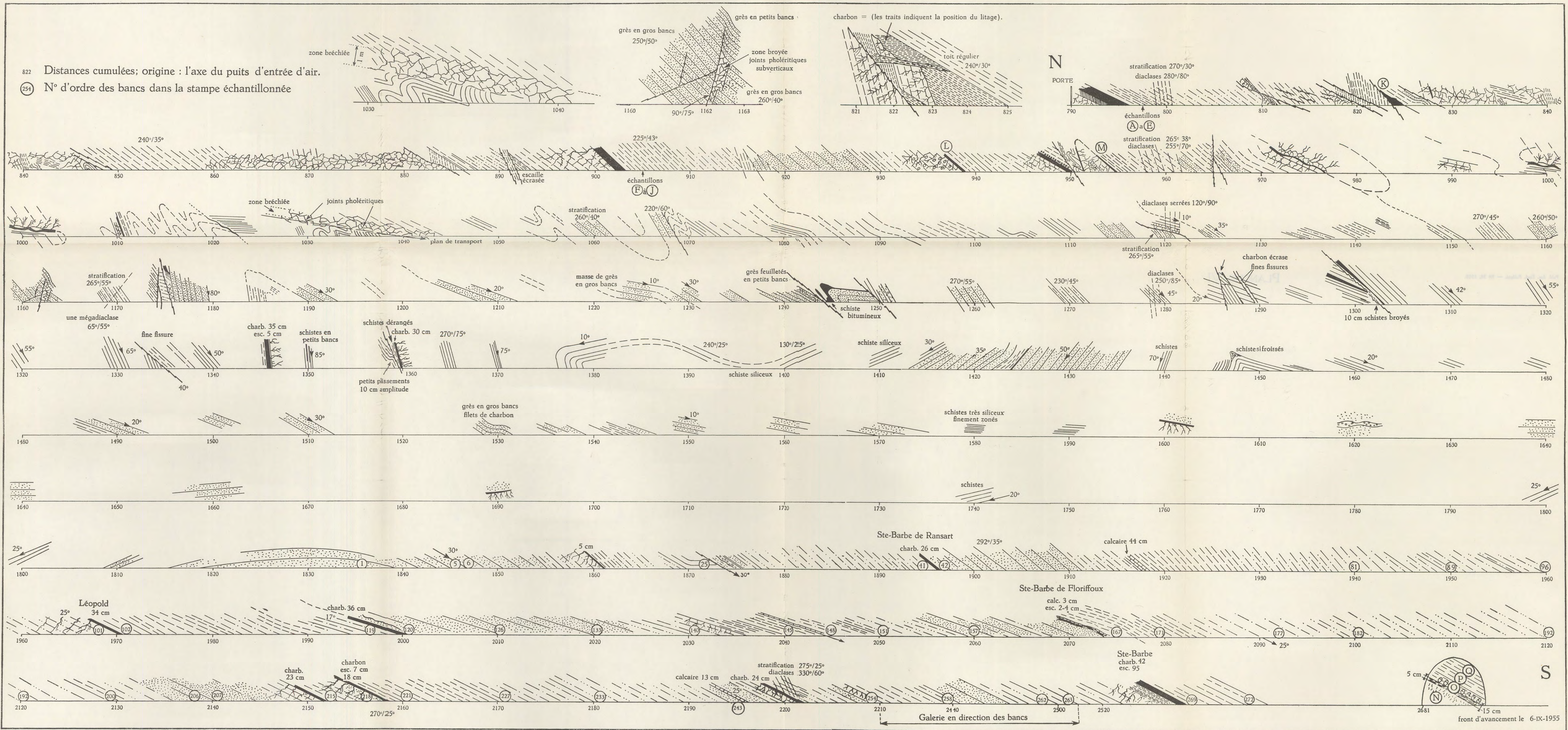
S



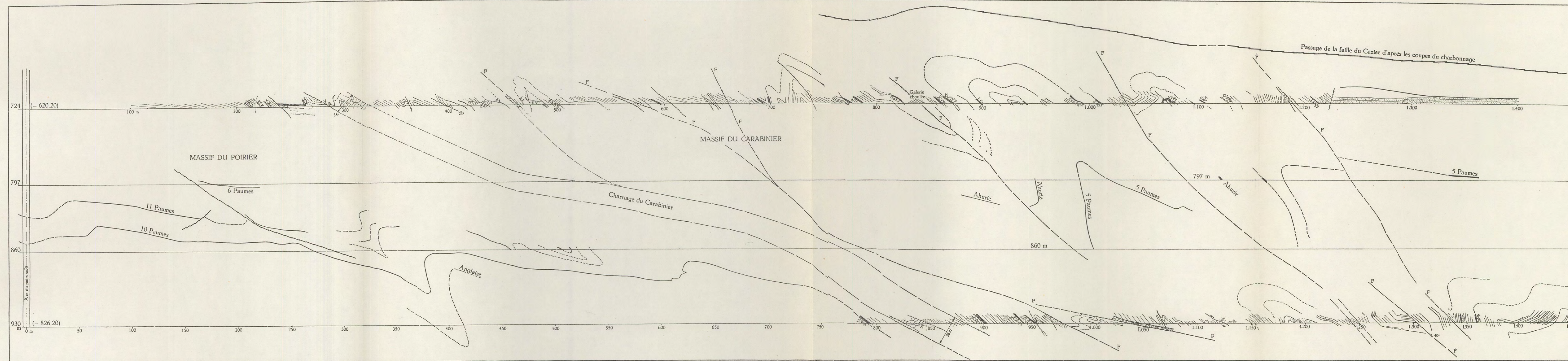
CHARBONNAGES DE MONCEAU-FONTAINE
DIVISION MARCINELLE

SIÈGE N° 25 - BLANCHISSERIE
LEVÉ TECTONIQUE DU TRAVERS-BANCS SUD A 930 m

ÉCHELLE 1/200

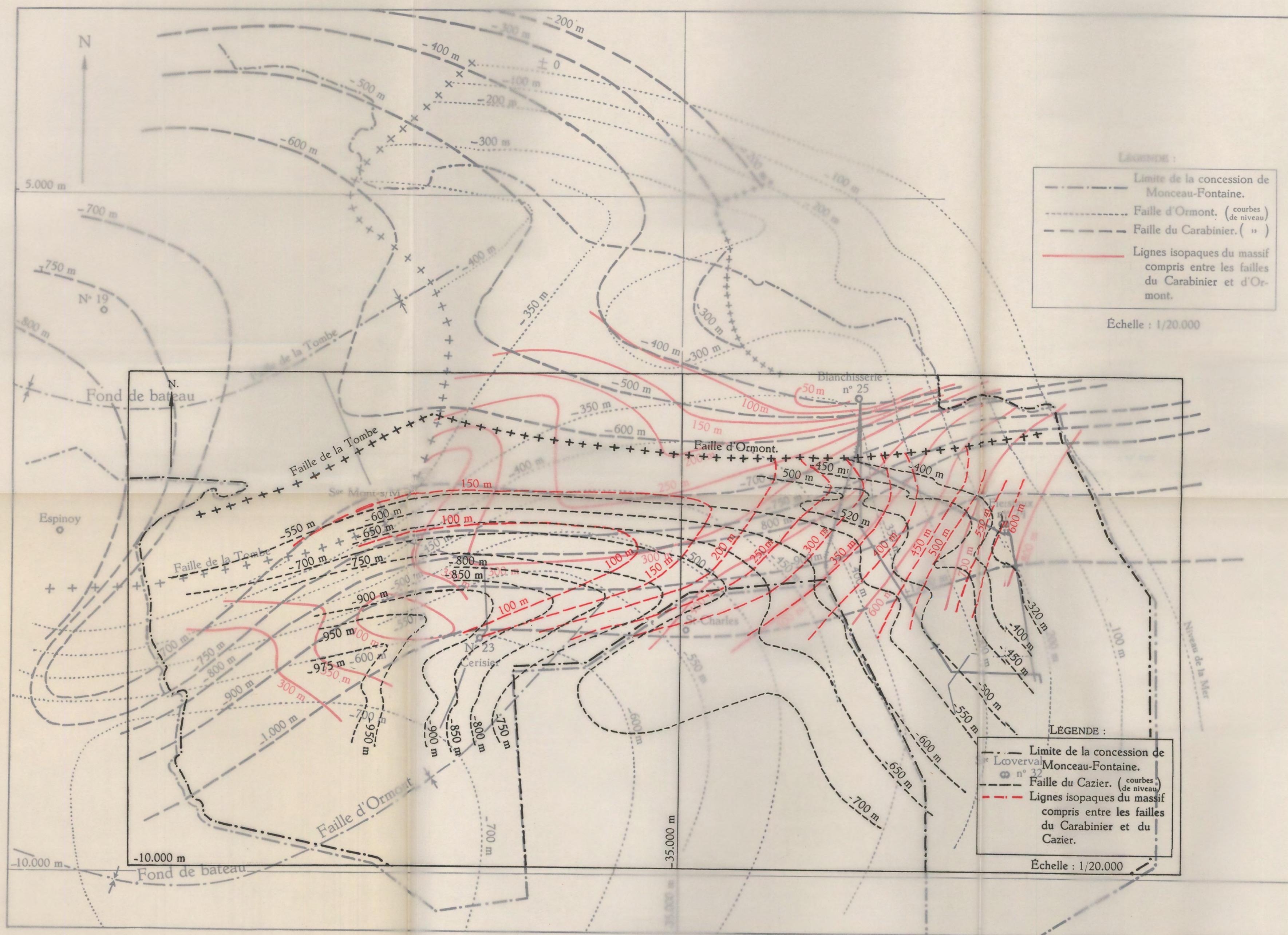


front d'avancement le 6-IX-1955



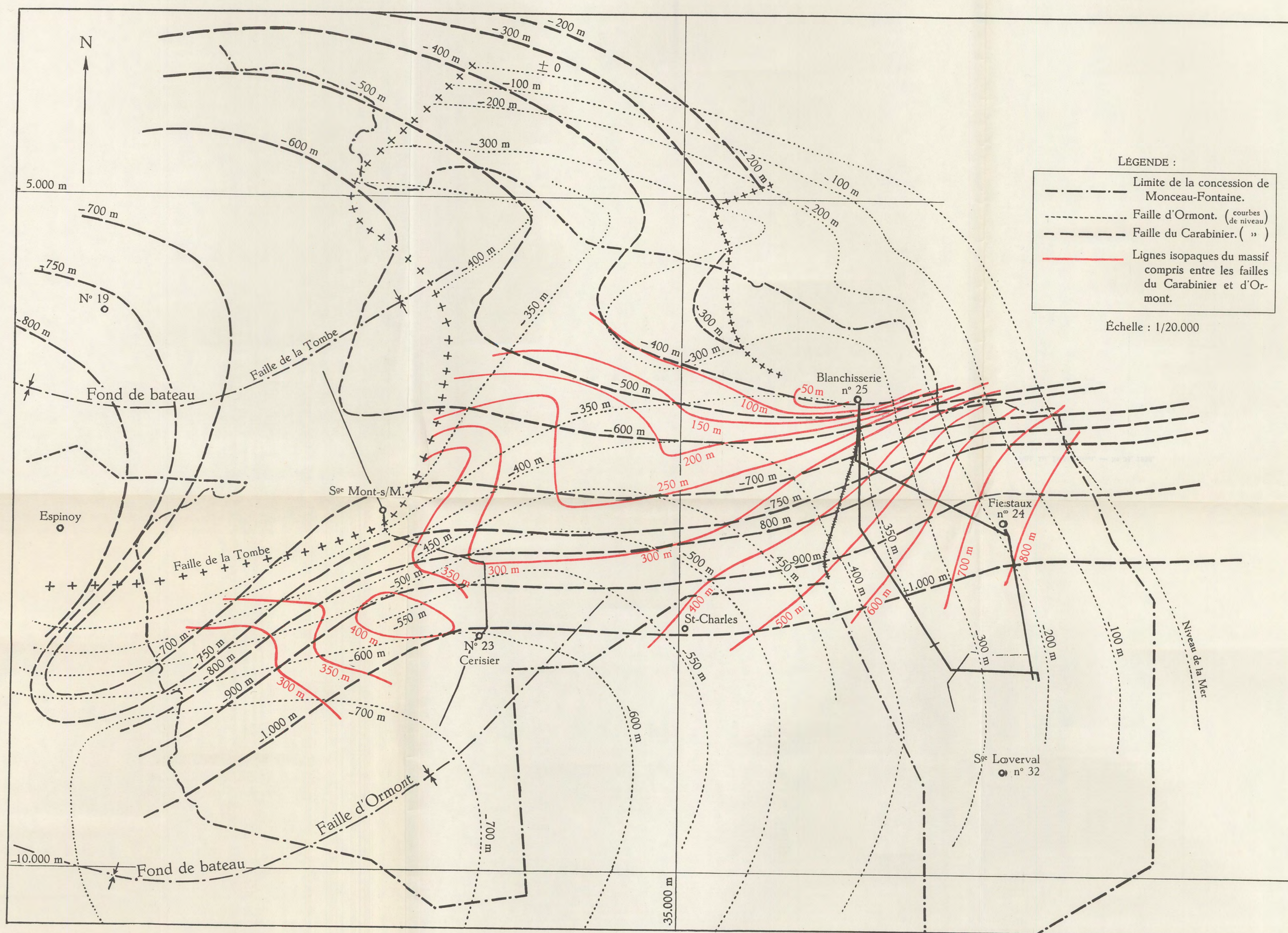
CHARBONNAGES DE MONCEAU-FONTAINE
DIVISION MARCINELLE

MASSIF TECTONIQUE DU CARABINIER



CHARBONNAGES DE MONCEAU-FONTAINE
DIVISION MARCINELLE

MASSIF TECTONIQUE DU CARABINIER



LÉGENDE :

- Limite de la concession de Monceau-Fontaine.
- ... Faille d'Ormont. (courbes de niveau)
- - - Faille du Carabinier. (")
- Lignes isopaques du massif compris entre les failles du Carabinier et d'Ormont.

Échelle : 1/20.000

